

**P-04-34**

## **Forsmark site investigation**

# **Stratigraphical investigation of till in machine cut trenches**

Martin Sundh, Gustav Sohlenius, Anna Hedenström  
Geological survey of Sweden (SGU)

March 2004

### **Svensk Kärnbränslehantering AB**

Swedish Nuclear Fuel  
and Waste Management Co  
Box 5864

SE-102 40 Stockholm Sweden

Tel 08-459 84 00

+46 8 459 84 00

Fax 08-661 57 19

+46 8 661 57 19



ISSN 1651-4416

SKB P-04-34

## **Forsmark site investigation**

# **Stratigraphical investigation of till in machine cut trenches**

Martin Sundh, Gustav Sohlenius, Anna Hedenström  
Geological survey of Sweden (SGU)

March 2004

*Keywords:* Till stratigraphy, Till fabric, Grain size, CaCO<sub>3</sub>-content, Forsmark, AP PF 400-02-12, Field note: Forsmark 153.

This report concerns a study which was conducted for SKB. The conclusions and viewpoints presented in the report are those of the author(s) and do not necessarily coincide with those of the client.

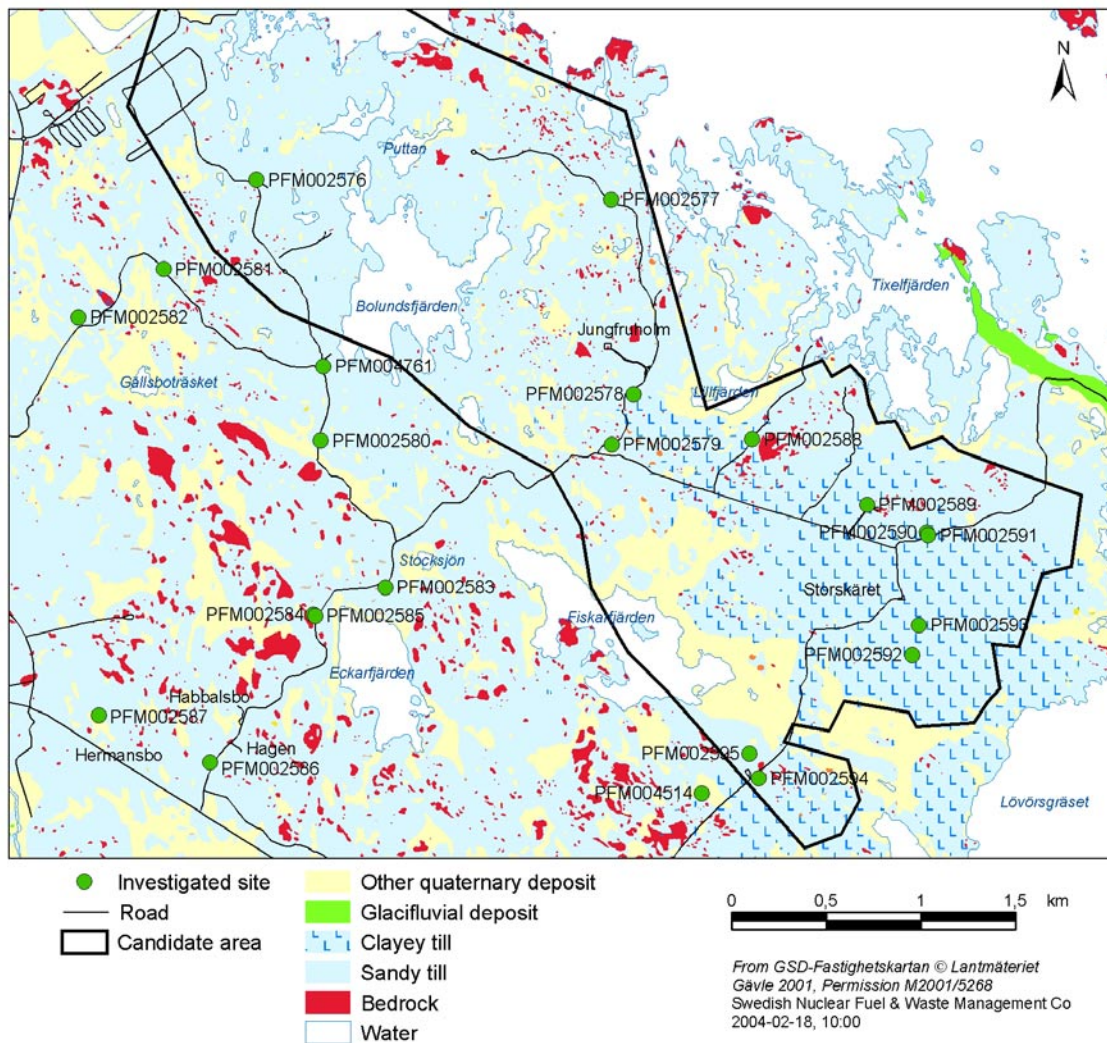
A pdf version of this document can be downloaded from [www.skb.se](http://www.skb.se)

# Contents

<b>1</b>	<b>Introduction</b>	5
<b>2</b>	<b>Objective and scope</b>	7
<b>3</b>	<b>Equipment</b>	9
3.1	Description of equipment	9
<b>4</b>	<b>Execution</b>	11
4.1	Preparations	11
4.2	Data handling	11
4.3	Analyses	12
<b>5</b>	<b>Results</b>	15
5.1	Introduction	15
5.2	Stratigraphy and physical properties of the till	15
5.3	Clast fabric analysis and glacial striae	22
5.4	Summary	23
<b>6</b>	<b>References</b>	25
	<b>Appendix 1</b> Stratigraphic sequences documented in sketches	27
	<b>Appendix 2</b> Clast fabric analysis in till presented in diagrams	51

# 1 Introduction

SKB performs site investigations for location of a deep repository for high level radioactive waste. The site investigations are performed at two sites: Forsmark and Oskarshamn. This document report the data gained in “Forsmark site investigation – Stratigraphical investigations of till in machine cut trenches”, see Figure 1-1. The activities were performed according to the Activity Plan PF 400-02-12. The methods used are described in SKB MD 131.001.



**Figure 1-1.** Map over the investigation area at Forsmark. Black line marks the candidate area for repository site investigations. Green dots marks investigated sites in machine cut trenches. Background map is simplified after the new revised map of unconsolidated Quaternary deposits at Forsmark /11/.

## 2 Objective and scope

The study aims to get information of the stratigraphy, distribution and physical properties of the till, especially to get information of the distribution and stratigraphic relation between till of sandy- and clayey composition. The investigations were carried out during the dry summer period of August 2003. Trenches to a maximum depth of some 5 m were excavated at 21 localities (Figure 1-1). The stratigraphic sequence was documented at each site and clast fabric analyses were conducted on selected till layers in order to evaluate ice transport directions.

Laboratory analyses were carried out on selected samples in order to characterise the physical properties of the till.

In this report we present information on stratigraphical data, analysis of grain size, CaCO<sub>3</sub>-content and clast fabric.

## 3 Equipment

### 3.1 Description of equipment

An excavator capable to reach depths of c 5 m was used for trenching during the stratigraphical work (Figure 3-1). Trench walls were cleaned manually by using shovels, scrapers etc and were then documented in sketches and photographs (Figure 3-2).

GPS (hand held) was used for positioning in the terrain. A mirror compass was used to measure the directions of encountered glacial striae on outcrops. A special made compass with a libel was used for clast fabric measurement.

Analyses of grain size and CaCO<sub>3</sub>-content were carried out according to /14, 15, 16/.



*Figure 3-1. Excavator capable to reach depths of c 5 m was used for trenching.*



*Figure 3-2. Trench walls were manually cleaned before examination and documentation of the stratigraphical sequence.*

## 4 Execution

The methods used are described in detail in SKB MD 131.001. The results from mapping of unconsolidated Quaternary deposits at Forsmark /13/, has been a guideline in choosing sites for the stratigraphical investigations.

Machine cut trenches was excavated at 21 locations. Trench walls were cleaned manually by using shovels, scrapers etc and afterwards documented in sketches and photographs. Clast fabric analyses were performed in glacial till at 10 investigation sites including one performed at an earlier available pit (PFM004761), altogether 13 fabric samples. Grain size distribution and CaCO<sub>3</sub>-content was analysed on 32 selected samples.

### 4.1 Preparations

The handheld GPS was controlled every day at a point with a known position (6699539 N, 1631321 E). This control defined a precision better than  $\pm 5$  m.

### 4.2 Data handling

The position of stratigraphical observations was measured with GPS. The dates of the observations were recorded and all were given unique id-numbers (PFM- or LFM-series). All points and dates were later stored in SICADA database. The geological information connected to the id-numbers was stored in SGU's database (Jorrdagboken version 5.4.3). Data from the SGU database were exported to Excel files, which were delivered to SKB (see CD) and stored under Field note Forsmark 153.

The deliverables to SKB for the stratigraphical investigations of till in machine cut trenches during 2003 includes:

- Stratigraphical data of till deposits (SICADA).
- Data from clast fabric measurements (SICADA).
- Results of grain size- and CaCO<sub>3</sub>-analyses (SICADA).
- Grain size analyses presented in diagrams, 32 analyses (File archive/Field note Forsmark 153).
- Digital sketches and photographs, 23 sketches and 22 photographs (File archive/Field note Forsmark 153, sketches are also presented in Appendix 1).
- Clast fabric analysis presented in diagrams, 13 diagrams (File archive/Field note Forsmark 153, also presented in Appendix 2).



### 4.3 Analyses

Grain size analyses on material < 20 mm, was carried out on 32 samples at SWECO, Geolab in Stockholm. The grain size distribution of coarse material (20–0.063 mm) was determined by sieving and finer material (< 0.063 mm) by using a hydrometer. The content of CaCO<sub>3</sub> was determined (SWECO, Geolab) on the same 32 samples (grain size < 0.063 mm) using Passons apparatus /16/. Colour of the samples were determined according to /6/. The analytical data is stored in the SKB SICADA database. Grain size distribution diagrams are stored in the SKB file archive under Field note Forsmark 153.

Clast fabric analyses were performed on glacial till at 10 investigation sites, altogether 13 fabric samples (see Table 4-1), according to /1/. A horizontal surface was first prepared in a suitable till layer, clasts were then exposed systematically by gentle scraping. Elongated particles up to 60 mm in length were measured. The relationship between the *a* axis (= long axis) and *b* axis (= intermediate axis) was always larger than 3/2. The direction and dip of the *a* axis was measured on at least 50 particles in each fabric sample except for one fabric sample, i.e. (PFM002583), which was stopped after 21 measured particles when showing a random orientation. The data is stored in the SKB SICADA database. Clast fabric data presented in diagrams and tables are stored in the SKB file archive under Field note Forsmark 153 and also presented in Appendix 2.

Three-dimensional vector analysis was used to extract the eigenvectors (V1, V2 and V3) and normalized eigenvalues (S1, S2 and S3) in the diagrams presented in Appendix 2. Eigenvector V1 refers to the direction of maximum clustering, and V3 to that of minimum clustering. The eigenvector V1 are regarded as significant when the S3-values are lower than 0.227. Values within brackets, i.e. statistical proposed directions of vector V1, are reconsidered to transport-directions shown without brackets.

The eigenvalues summarize fabric strength or degree of clustering. S1 measures the strength of clustering about the mean axis V1. S1-values > 0.7 is regarded as strong orientation, values < 0.5 is regarded as random orientation.

**Table 4-1. Summary of the statistic values from fabric measurement.**

Id-code	Depth (m)	V1 (°)	S1	S3	C	N
PFM004761	0.5	353	0.722	0.098	1.993	57
PFM002578	2.5	313	0.797	0.,047	2.839	51
PFM002581	2.4	2	0.613	0.060	2.321	50
PFM002583	1.0	277	0.574	0.064	2.196	21
PFM002586	1.1	329	0.688	0.043	2.773	50
PFM002588	2.1	337	0.800	0.060	2.586	50
PFM002589	1.3	331	0.824	0.060	2.615	50
PFM002589	2.4	339 (159)	0.783	0.039	2.990	50
PFM002590	2.3	322	0.795	0.059	2.598	50
PFM002592	1.2	318	0.839	0.035	3.167	50
PFM002592	2.8	327	0.796	0.064	2.525	50
PFM002594	0.6	3	0.918	0.017	3.986	50
PFM002594	1.4	332 (152)	0.852	0.047	2.888	50

The strength parameter  $C$ ,  $\ln(S1/S3)$ , expresses the “strength” of the preferred orientation in the data sample. A high  $C$ -value indicates that the clustering/girdling is strong. A value over 1.9 denotes a confidence level of 90% if  $N$  is 50 or more /17/.

The shape parameter  $K$ ,  $\ln S1/S2)/\ln(S2/S3)$ , expresses the gradient of a line joining the graph origin to the point representing the sample.  $K$  ranges from zero (uniaxial girdles) to infinite (uniaxial clusters). High  $K$ -values indicate a clustered distribution (see Appendix 2).

$N$  is the number of measured particles in each sample.

## 5 Results

### 5.1 Introduction

The investigated area at Forsmark (Figure 1-1) is mainly a flat slightly undulating terrain with a maximum elevation of c 20 m above sea level. The most common Quaternary deposit is glacial till. The detailed mapping of the Quaternary deposits in the Forsmark area has shown that the grain size composition of the till-cover varies over the area. Sandy till is the most common type but a clayey till is also present and covers large areas, mainly in the eastern part of the investigation area /8, 9, 11/.

Machine dug trenches were carried out at 21 sites (Figure 1-1) to investigate the composition and stratigraphical distribution of the till and, where possible, the stratigraphic relation between till beds. The stratigraphic sequence at each site was documented in a sketch, see Appendix 1.

### 5.2 Stratigraphy and physical properties of the till

The investigated area can in a broad sense be divided in two separate areas of different till types, see Figure 1-1. The western part is characterised by till of sandy or sandy-silty composition, while the eastern part is characterised by till of clayey composition. Analysed samples from this investigation show that the CaCO<sub>3</sub>-content is generally high in both till types, varying between 16–28% in till of a sandy to sandy-silty composition and between 9–32% in till of a clayey composition. The CaCO<sub>3</sub>-content emanates from Palaeozoic limestone, which is known from the sea floor north of the investigation area. According to earlier investigations the clayey till has a north south distribution, covering large parts of the coastal region from northern Gräsö down to Norrtälje /10/.

Results from the documentation of stratigraphy, till composition, fabric and striae measurements are summarised in Table 5-1, sketches from each site are presented in Appendix 1.

The map of Quaternary deposits (Figure 1-1) gives a rather accurate picture of the distribution of the two till types, at least in the uppermost part of the till. The excavation results support the outlined picture with sandy till dominating in the western part and clayey till in the eastern part. But a clayey till was also encountered in the western part at site (PFM002581), where a clayey till was revealed deeper down in the stratigraphy under a sandy-silty till, (see Figure 5-1). In the eastern part, the till composition is commonly clayey even at the uppermost part of the till (Figure 5-2). The average thickness of the till also seems to be greater in the eastern part; depths of more than 7 m respectively 9 m were reported from drillings in the area around Storskäret (PFM002572, PFM002464) /5, 4/.



**Figure 5-1.** Sandy till overlaying till of clayey composition, the till beds are separated by an erosive, sharp contact (PFM002581).



*Figure 5-2. The clayey till often constitutes of compact, homogeneous boulder clay in the area around Storskäret (PFM002592).*

**Table 5-1. Documentation of stratigraphy, till composition, fabric and striae bearing measurements summarised from each investigation site.**

<b>Id-number</b>	<b>Description of till unit</b>	<b>Depth (m)</b>	<b>Fabric (°)</b>	<b>Striae (°) / bedrock</b>
PFM004761	Sandy	0 – 1.6	353	/ not reached
PFM002576	Sandy-silty, boulder rich surface	0.4 – 5.2		/ not reached
PFM002577	Sandy-silty, wave-washed surface, resting on bedrock	0.3 – 0.9		younger 350 older 310
PFM002578	1 Sandy-silty, stone-enriched surface	0 – 0.5		
	2 Clayey sandy-silty, the layer ceases in a vertical contact towards sandy-silty till	0.5 – 1.9		
	3 Sandy-silty, resting on bedrock	1.9 – 4.2	313	300
PFM002579	1 Sandy-silty, gravel on clay in surface	0.4 – 0.7		
	2 Sandy, resting on bedrock	0.7 – 1.4		younger 350 older 320
PFM002580	Sandy, gravel on clay in surface	0.6 – 5.0		/ not reached
PFM002581	1 Sandy with erosive contact against unit 2, gravel on clay in surface	0.4 – 0.9		
	2 Clayey sandy-silty – boulder clay	0.9 – 5.0	2	/ not reached
PFM002582	1 Sandy-slided mtrl? Gravel in surface, glacial clay beneath.	0.4 – 0.7		
	2 Clayey – stonerich, sandy layer beneath	1.0 – 1.3		
	3 Sandy, resting on bedrock	1.6 – 2.6		no striaes /
PFM002583	Sandy, stonerich with stone-enriched surface	0.2 – 2.1	random	345
PFM002584	Sandy, resting on bedrock	0.2 – 0.9		355
PFM002585	Sandy, resting on bedrock	0.4 – 1.2		355
PFM002586	Sandy, stonerich with stone-enriched surface	0.2 – 1.8	329	320
PFM002587	1 Sandy, local or ablation till	0.2 – 2.8		
	2 Sandy, resting on bedrock	2.8 – 3.3		no striaes /
PFM002588	1 Sandy-silty, stonerich	0.4 – 1.2		
	2 Clayey sandy-silty	1.2 – 1.9		
	3 Boulder clay	1.9 – 2.9	337	
	4 Sandy-silty, resting on bedrock	2.9 – 3.1		younger 350 older 320
PFM002589	1 Clayey sandy-silty	0 – 2.0	331	
	2 Boulder clay	2.0 – 4.3	339	
	3 Sandy	4.3 – 5.0		/ not reached
PFM002590	1 Sandy-silty	0.2 – 1.2		
	2 Clayey sandy-silty, resting on fragmented rock	1.2 – 4.6	322	no striaes /
PFM002591	1 Clayey gravelly, not consistent layer	0 – 1.3		
	2 Clayey sandy silty	1.3 – 3.5		/ not reached
PFM002592	1 Clayey sandy silty	0.2 – 1.6	318	
	2 Boulder clay	1.6 – 4.1	327	/ not reached
PFM002593	1 Clayey sandy silty	0.4 – 1.4		
	2 Boulder clay	1.4 – 3.6		/ not reached
PFM002594	1 Clayey sandy-silty	0 – 1.2	3	
	2 Clayey and sandy-silty layers builds up the till	1.2 – 4.0	332	/ not reached
PFM002595	Clayey sandy-silty, resting on an uneven bedrock-surface	0 – 1.2		younger 360 – 20 older 285
PFM004514	1 Clayey sandy-silty	0 – 1.2		
	2 Sandy, steep contact against unit 1, underlain by glacial clay	1.2 – 1.4		
	3 Boulder clay	1.4 – 2.4		
	4 clayey sandy-silty	2.4 – 3.0		/ not reached

Complex stratigraphical sequences were revealed at some places. At investigation site PFM002578 a clayey till layer (clay content 13.5%) was found incorporated in a dominantly sandy-silty till, (see sketch Appendix 1). A similar stratigraphic sequence has also been reported from a percussion borehole adjacent to PFM002578, i.e. HFM005 close to KFM02 /12/, which could imply that these two sites are situated on a transition zone between the sandy and clayey till types. This is also implied in the Map of unconsolidated Quaternary deposits /11/.

Another complex stratigraphical sequence was revealed at site PFM004514, in the south east, where a layer of glacial varved clay was found beneath one metre of clayey till. The clayey till had a diagonal erosive contact against a sandy till (Figure 5-3).

The varved clay is eroded and folded in the contact against the overlaying till sequence and is consolidated like ordinary varved clay. Analyses of the varved clay show a clay content of 66.5% and a calcareous content of 12%. This is comparable for the properties of varved glacial clay observed in several lakes within the area /2, 3/. The varved clay is



**Figure 5-3.** The layer of varved clay is up to 0.5 m in thickness, eroded and folded in its upper part (PFM004514).

deposited on top of boulder clay with a non-erosive contact; deeper down is the boulder clay followed by a till with dominating sandy composition. This till sequence in the surface is clearly dislocated to its present position, but the nature behind this process is not clearly understood. Till transported by an oscillating ice could be an option but there is no other information in support for this scenario. A more likely explanation, is that the till material slid down on the glacial clay from the existing small hillocks nearby.

The till with a clayey composition has, as previous mentioned, also been encountered in the western part of the investigation area, i.e. at investigation site PFM002581 (see sketch Appendix 1). A clayey till was revealed under a sandy-silty till at a depth of 1.9 m. Grain size analyses of a sample from the upper part of the clayey till have a clay content of 11%, at greater depth it transforms into boulder clay with a clay content of 19%. The  $\text{CaCO}_3$ -content in the upper part is 24% and diminishes with depth to 18%. The most striking physical property of the clayey till at (PFM002581) is its extreme degree of consolidation to the extent that it even resisted ordinary machine digging methods (Figure 5-4). An excavator ripper had to be used to be able to cut in to the hard till.



**Figure 5-4.** The attachment to the excavator bucket broke under the attempts to cut into the extremely hard clayey till (PFM002581).



The contact between the two till beds is sharp and erosive with, in some places, sharp edged lumps of hard clayey till incorporated into the base of the overlying sandy-silty till (Figure 5-5). The high consolidation degree of the clayey till was apparently already existent before deposition of the overlying sandy-silty till.

Occurrence of clayey till under sandy till was also encountered at Eckarfjärden (probing borehole SFM0016) during drillings in the western part, carried out within the hydrogeological program during the winter and spring 2003 /4/.

An ice transport direction from north seems to be logical for the deposition of the clayey till. This assumption is based on the high  $\text{CaCO}_3$ -content emanating from Palaeozoic limestone, which is present at the sea bottom north of the area, and the high clay content in the till. The high clay content in the boulder clay is most likely derived from redeposit sedimentary clay; e.g. investigation sites PFM002578 and PFM002592 (see Appendix 1). On both sites small lumps of sedimentary clay was detected in the till matrix and analysis of a sample from PFM002592 holds a clay content of 32.2%. Furthermore, the high content of well rounded stones, a high percentage of limestone, and the massive, homogeneous texture of the boulder clay gives an impression of a fairly long transported material. Considering these circumstances, the most likely area for the ice to pick up ingredients to form the clayey till, is situated at the bottom of the sea, north of the investigated area.



**Figure 5-5.** The erosive contact between the two till beds, sharp edged lumps of clayey till intercalate into the base of overlying sandy-silty till (PFM002581).

The sandy till is totally dominated by Precambrian bedrock material but has, in spite of that, also a high CaCO<sub>3</sub>-content. The dominating Precambrian bedrock material in the sandy till speaks in favour of a transport direction from approx. north-west. A north-west to south-east trend is also detected in the geochemical anomalies of the element distribution in till at Forsmark /7/. Stones and small boulders of Ordovician limestone occur locally in the sandy till and are, according to earlier investigations /10/, also found in various amounts in the fine gravel fraction with steadily diminishing amounts westwards. The CaCO<sub>3</sub>-content in the sandy till is a bit puzzling, but could possibly have been inherited from erosion of the clayey till. Occurrences of sandy till covering clayey till was, as earlier mentioned, revealed within the investigated area and is also reported from other parts of north eastern Uppland /10/.

### 5.3 Clast fabric analysis and glacial striae

The performed clast fabric analyses does not however support the transport scenario mentioned above, (see Table 4-1 and diagrams in Appendix 2). The dominating transport direction is from north-west according to fabric analyses, regardless whether it is a sandy, sandy-silty or a clayey till. The only exceptions from this trend are two fabric analysis performed around 0.5 m below the surface (PFM004761, PFM002594) and one fabric analysis performed at 2.4 m below the surface (the hard clayey till at PFM002581), which all indicates a dominating transport direction from north. Fabric results indicating a deposition from north respectively north east has also been reported earlier for the uppermost part of the till, (i.e. PFM002801 and PFM002802), just north of PFM004761 /12/.

The till at site PFM004761 is however of a sandy composition, while the till sequence at site PFM002594 is of a clayey composition. A fabric analysis performed deeper down at PFM002594, at a depth of 1.4 m, inferred however a transport direction from north-west. The hard, durable clayey till at site PFM002581 is the only one that lives up to the expectations of an ice transport direction from north for the deposition of the clayey till.

Polished bedrock with glacial striae was found at the bottom at nine of the trenches, (see Table 5-1). Glacial striae formed from north-west (300–320°) were found at five of these localities, whilst glacial striae with more northerly directions (345–20°) were found at seven localities. At three localities, where both glacial striae system were found together (PFM002577, PFM002579 and PFM002588), it could be determined that the glacial striae formed from north-west is the oldest.

The younger striae from the north were mostly found at shallow depths, less than 1.5 m, and most likely has the younger ice flows from north only influenced the upper parts of the till deposits in the area. A pronounced stone enrichment resembling reworked material was also noticed in the upper most meter of the till, at many sites. Fabric analysis performed in till at shallow depth, (i.e. sites PFM004761, PFM002594) and as earlier mentioned also reported from sites PFM002801 and PFM002802, show an inferred transport direction from north and at the latter site from north east.

The older striae from north-west coincide with the inferred transport direction according to fabric analysis performed in deeper till layers. The complex stratigraphical sequence at site PFM002578, where a clayey till layer abruptly ceases in a vertical contact against surrounding sandy-silty till, is most likely explained by the redeposit of clayey till. The sandy-silty till has, according to a fabric analysis beneath the clayey till, an inferred transport direction from north-west. Ice flows from north-west seems to be responsible for most of the transportation and deposition of sandy and clayey till in the area.

The hard, durable clayey till at site PFM002581 has, compared to most of the clayey till deposits, a diverging transport direction from the north. The hard clayey till is homogeneous in texture and seems to have escaped erosion from younger ice flows due to an existent high degree of consolidation, but perhaps also due to a sheltered location. Occurrence of clayey till beneath a dominantly sandy till is also reported from drillings in the western part, as earlier mentioned. This can imply that an old clayey till already was existent in the area before the ice flows from north-west commenced. Erosion and redeposit of an older clayey till by ice flows from north-west could be the explanation for the dominating north-west fabric of the clayey till.

If this is the case we have to anticipate that the region has been affected by both older and younger ice flows from the north. It seems that younger ice flows from north have had little effect on the till deposits in the area which is in contrast to the abundance of northerly glacial striae found on the bedrock outcrops in the area. The combined effect of older as well as younger ice flows from north could in this context be the explanation for the dominantly northerly glacial striae found on the bedrock outcrops in the region. Younger striae from north and north-east are most likely to have been formed under the deglaciation phase. The age of a possibly older ice flow from north is uncertain. According to fabric analysis it must have been succeeded by ice flows from north-west and finally from north, and could possibly even be older than the old striae systems from north-west found on outcrops in the region.

## 5.4 Summary

- The till in the western part of the investigated area is dominantly of a sandy to sandy-silty composition, while till in the eastern part is dominantly of a clayey composition.
- Till with a clayey composition has also been found at some locations in the western part, but deeper down in the stratigraphy, disguised and overlain by sandy till.
- The CaCO<sub>3</sub>-content is generally high in both types of till. The clayey till has often a clay content of 10% or more in its upper parts, but transcends often with depth into boulder clay (clay content over 15%).
- Both the sandy and the clayey till types have according to fabric analysis a dominating transport direction from north-west. This is a somewhat surprisingly transport direction regarding the clayey till, with its high calcareous and clay content. The explanation could be re-deposited clayey till, by ice flows from north-west.
- A transport direction from north has been detected at some locations for the uppermost part of the sandy and the clayey till.
- The hard, clayey till found deeper down in the stratigraphy in the western part has, according to fabric, a transport direction from the north.
- This raises the possibility of an old ice flow from north, which originally could have transported and deposited the clayey till in the area.
- The till stratigraphy in the western part is, according to this investigation, dominated by a sandy till. The sandy till is often continuing down to the bedrock, or down to the limit for the excavations at c 4–5 m, but is also found in places where it is overlaying the clayey till.

- The till stratigraphy in the eastern part constitutes dominated by clayey till. The clayey till often transcend with depth into boulder clay. The stratigraphy seems to be consistent down to depths of c 4–5 m. The depth down to the bedrock seems to be considerably greater in this part and the stratigraphy further down is consequently more uncertain.
- There seem to be a transition zone between the two areas of dominantly sandy respectively clayey types of till. The till stratigraphy is more complicated with probably, redeposit strata of clayey till, incorporated in sandy till.

## 6 References

- /1/ **Dowdeswell J A, Sharp M, 1986.** Characterization of pebble fabrics in modern terrestrial glacial sediments. *Sedimentology* 33, 699-710.
- /2/ **Hedenström A, 2003.** Forsmark site investigation, Investigation of marine and lacustrine sediment in lakes. Field data. SKB P-03-24, Svensk Kärnbränslehantering AB.
- /3/ **Hedenström A, 2004.** Forsmark site investigation, Investigation of marine and lacustrine sediment in lakes. Stratigraphical and field data. SKB P-04-86, Svensk Kärnbränslehantering AB.
- /4/ **Hedenström A, Sohlenius G, Albrecht J, 2004.** Forsmark site investigation Stratigraphical and analytical data from auger drillings and pits. SKB P-04-111, Svensk Kärnbränslehantering AB.
- /5/ **Johansson P-O, 2003.** Forsmark site investigation, Drilling and sampling in soil. Installation of groundwater monitoring wells and surface water level gauges. SKB P-03-64. Svensk Kärnbränslehantering AB.
- /6/ **Munsell Soil Color Charts, 1994.** Macbeth Division of Kollmorgan Instruments Corporation, New Windsor.
- /7/ **Nilsson B, 2003.** Forsmark site investigation, Element Distribution in Till at Forsmark – a Geochemical Study. SKB P-03-118, Svensk Kärnbränslehantering AB.
- /8/ **Persson Ch, 1985.** The Quaternary map Östhammar NO. Geological Survey of Sweden, Ae 73.
- /9/ **Persson Ch, 1986.** The Quaternary map Österlövsta SO/Grundkallen SV. Geological Survey of Sweden, Ae 76.
- /10/ **Persson Ch, 1992.** The latest ice recession and till deposits in northern Uppland, eastern central Sweden. *SGU Ca* 81, 217-224.
- /11/ **Sohlenius G, Hedenström A, Rudmark L, 2004.** Investigations at Forsmark, Mapping of unconsolidated Quaternary deposits 2002-2003. SKB R-04-39, Svensk Kärnbränslehantering AB.
- /12/ **Sohlenius G, Rudmark L, 2003.** Forsmark site investigation, Mapping of unconsolidated Quaternary deposits. Stratigraphical and analytical data. SKB P-03-14, Svensk Kärnbränslehantering AB.
- /13/ **Sohlenius G, Rudmark L, Hedenström A, 2003.** Forsmark, Mapping of unconsolidated Quaternary deposits. Field data 2002. SKB P-03-11, Svensk Kärnbränslehantering AB.
- /14/ **Standardiseringskommissionen i Sverige (SIS), 1992a.** Geotekniska provtagningsmetoder – Kornfördelning – Siktning. Svensk Standard, SS 02 71 23, 4 pp.

- /15/ **Standardiseringskommissionen i Sverige (SIS), 1992b.** Geotekniska provtagningsmetoder – Kornfördelning – Sedimentering, hydrometermetoden. Svensk Standard, SS 02 71 24, 7 pp.
- /16/ **Talme O, Almén K-E, 1975.** Jordartsanalys. Laboratorieanvisningar, del 1. Department of Quaternary Research, Stockholm University, 133 pp.
- /17/ **Woodcock N H, Naylor M A, 1983.** Randomness testing in three dimensional orientation data. Journal of Structural Geology, Vol 5, 539-548.

Appendix 1

Stratigraphic sequences documented in sketches

**Jordlagerföljd**

Sveriges geologiska undersökning  
Box 670  
75128 Uppsala

ID-nr: **PFM002576\_S1**

Kartblad: **12I 99** Rupp: **99** Gula kartan: **1B** Höjd öh: **3m** Lokal namn: **1B**

Typ av avlagring (form): **Flack moränyta** Uppställningsare: **A. Hedengrön**

Grundvya: **3,2** Övrigt: **4/8 2003**

Provnr	Jordlagringsymbol	Kornsteflek Prim./Sekund.	Ango 1-5	Övrigt (färg, struktur m m)
04	Humus + lerhörlar	Block-sten cyan	1 3 4 3	Brunt färgad del, lätt skiffrig i baddens övre del.
072	sa-si	Sandig-siltig	1 3 4 3	Rotdjup 0,8m Jordmändjup 0,4m inklusive lerhörlar Lingskog-sly invid 10-årig skog av Tall- Björk-Gran
1,93	sa-si	Sandig-siltig	1 3 3 3 3	Prover PFM: 002576_1 0,4 m humus + lerhörlar -11- 2 0,7 m nedre partiet av synliga rötter. -11- 3 1,9 m moränprov -11- 4 5,0 m moränprov
504	sa-si	Sandig-siltig	1 3 3 3 3	Grö. massiv morän

So = sorteringsgrad; 1=fin, 2=st, 3=ulst, 4=god, 5=ukt god sortering. Bl=blockhalt; 1=inga, 2=ett, 3=spridda, 4=riktigt lösa. St=skifferhalt; 1=inga, 2=ett, 3=flera, 4=flera. K=skifferhalt; 1=inga, 2=ett, 3=flera, 4=flera. Ru=ruddningsgrad; 1=släppligt, 2=kanligt, 3=kanterat, 4=ruddat, 5=starkt ruddat.

Part. orient. = PO. Petrografisk analys = PE. Kemisk analys = ME. Kemisk-mineralogisk analys = KE. Mikroanalys = MI

Sveriges geologiska undersökning  
Box 670  
75128 Uppsala

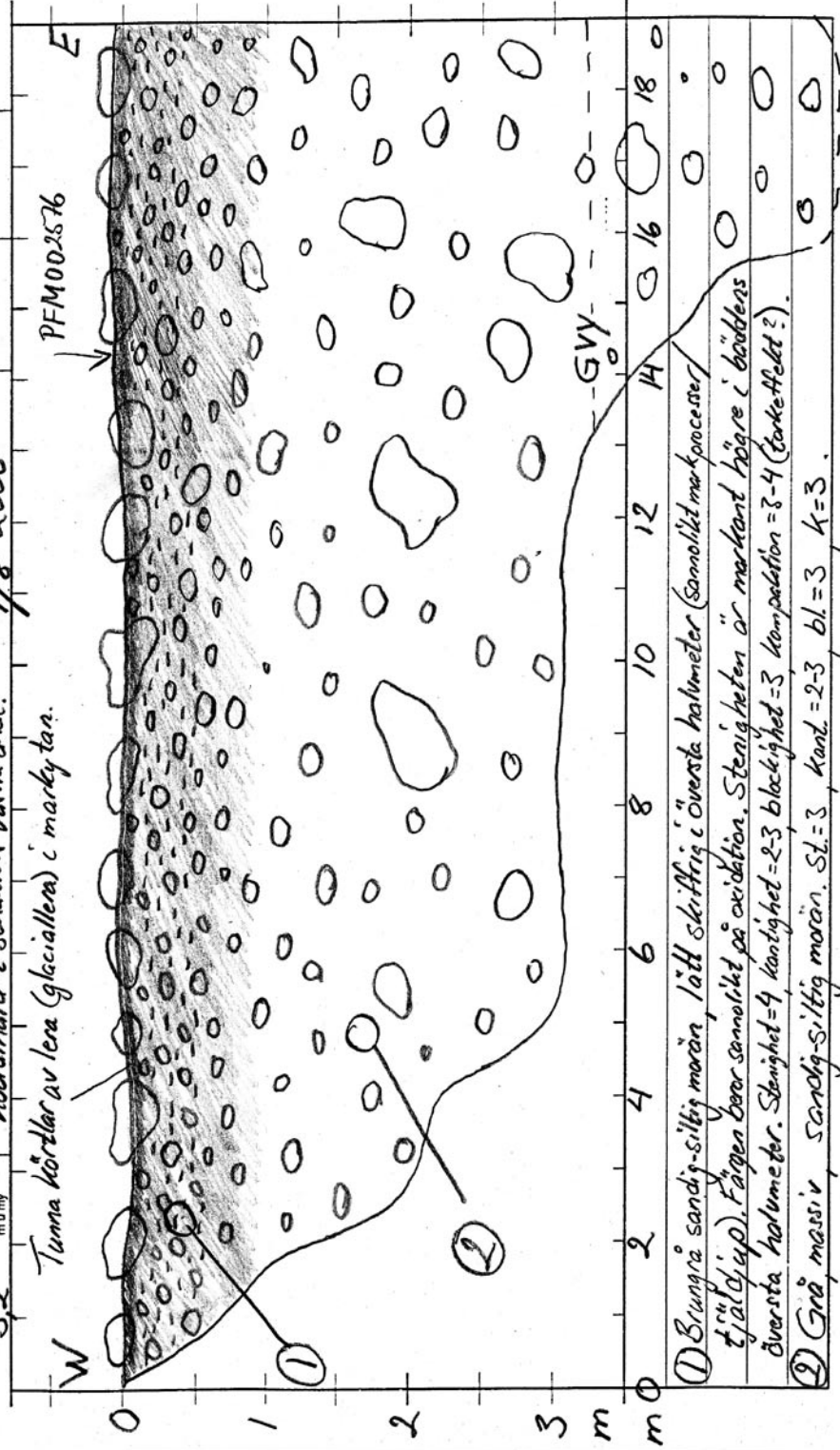
## Jordlagerföljd

ID nr  
**LFM000580\_S1**

Maskingrävd grop  Byggnadsanläggning   
 Täkt  Vägskärning  Naturlig skärning   
 Annat  Schaktbarhet   
 Täkt nr \_\_\_\_\_ Dom. mtr \_\_\_\_\_

Lokal namn  
**1 B**  
 Uppställningsare  
**M. Sundh, A. Hedensström**  
 Datum  
**4/8 '2003**

Höjd ö h  
**3 m**  
 Ritnings nr  
**N 6699690 O 1631317**  
 Typ av avläggning, yttorn  
**Flacke mördfärgad stax väster om borrhål 1**  
 Grundv yta  
**3,2**  
 Övrigt  
**Koordinater i schaktets västra änd.**



PFM002576

GVY

- ① Brunnä sandig-siltig morän, lätt skiffrig i översta halvmeter (sannolikt markprocesser tjäldjup). Färgen beror sannolikt på oxidation. Stenigheten är markant högre i boddens översta halvmeter. Stenighet=4 kantighet=2-3 blockighet=3 komparation=3-4 (Erdkettelt?).
- ② Grå massiv sandig-siltig morän. Stl.=3 kant.=2-3 bl.=3 k=3.



Sveriges geologiska undersökning  
Box 670  
75128 Uppsala

## Jordlagerföljd

ID-nr  
**PFM002577\_S1**

Måstingsvid  Bygge, anläggning  
TÄKT  Vägskärning  Naturlig skärning  
Annat:  Schaktbarhet Dom. mtri

Lokal namn **18**  
Uppställningsnr  
**P. Sundh, G. Söhlenius**

Höjd ö h **3m**  
Kornstorlek P/m/Sekund.  
**Sandig, inslag av rena sandpartier**

Rikets nr **6699487** / **1633201**  
Gula karten  
Typ av anläggning, yttan  
**Flack mot vänta i hållrikt område**

Grundv yta  
Övrigt  
**6/8 2003**

Lager nr	Lager nr	Jordartssymbol	Kornstorlek P/m/Sekund.	Ange 1-5			Övrigt (färg, struktur m m)
				So	Bl	Sil	
1	1	Rottite	Sandig, inslag av rena sandpartier			4	Stenarrikat yttskikt
2	2	Sa-Si	Sandig-siltig	1	2	3	Grävfogd med lätt horisontell skiffriighet.
3	3						Gropen grävd i öppen gränta omgäven av ca 40-ärg gränstog.
4	4						Rotdjup ca 0,2-0,3 m, i huvudsak begränsad till svellskiktet.
5	5						Humusmäktighet ca 5 cm.

So=sorteringsgrad; 1=ingen, 2=svag, 3=ofullst, 4=god, 5=mycket god sortering. Bl=blockhalt; 1=inga, 2=ett litet, 3=spärda, 4=rikligt löst rekommenderat, 5=riktigast bara block. Sil=silt. K=kompaktion; 1=helst okompakterad, 2=svagt konsol, 3=normalt konsol. (morän), 4=hårt, svårgrävt, 5=mycket hårt, m i m opgrävt. Ru=rundningsgrad; 1=skarplänig, 2=kantig, 3=kantavrundad, 4=rundad, 5=väldigt rundad.

Vänd

Part. orient. = PO. Mekanisk analys = ME. Kemisk-mineralogisk analys = KE. Mikrofossilanalys = MI

Sveriges geologiska undersökning  
Box 670  
75128 Uppsala

# Jordlagerföljd

ID-nr  
**PFM002578\_S1**

Kartblad **RI 12 I** Rupa **99** Gula kartan **6698460** o. **1633320** Höjd 0 h **4 m** Lokal namn **19**  
 Typ av avlagring, yttill **Flack moränya** Upphällsmärka **M. Sundh G. Sohlenius,**  
 Grundniv yta **3,7** m u my **7/8 2003** **A. Hedenström** Schaktbarhet  Dom. mt

Prover Analysnr <b>PFM002578</b>	Jord- djup mån dm gvy	lagr nr	Jordarsymbol	Kornstolek Prim./Sekund.	Ång 1-5					Övrigt (färg, struktur m m)
					So	Bl	Sl	K	Ru	
<b>3</b>	0-10	1	▲ sa-si	Stenarrikad yta sandig-siltig	1	2	3	3	2	Gränserna mellan den leriga moränen och den sandig-siltiga moränen är relativt skarp, ibland även med vertikala gränser. Den leriga moränen är sannolikt en moränna med lerhalt > 15%. Lerrika partier uppvisar skiktning som liknar glacialisrens värriga uppbyggnad. Den leriga moränen är delvis rik på kalkfragment och mindre kalksten. Det leriga lagret är inte uttjilligt i schaktet utan upphör mot söder med vertikal kontakt mot sandig-siltig morän.
<b>1</b>	10-20	2	▲	lerig	1	2	3	3		
<b>2</b>	20-30	3	▲ sa-si	Huvudsaklig gräns mellan 1 och 2	1	2	3	3		
<b>4</b>	30-40	3	▲ sa-si		1	2	3	3		Vegetation: Fullt utvuxen skog av gran-tall, frodigt med gräs och bläbär i markskiktet.  Ingen synlig markprofil. Humusdjup ca 15 cm. Rotdjup: De flesta rötterna når 2,5 dm, enstaka drygt 1 m.
	40-50									
	50-60									

So=sorteringsgrad: 1=ingen, 2=sv. 3=fullt, 4=epd, 5=mtk med sortering, Bl=blockhalt: 1=inga, 2=ett till, 3=spridda, 4=rådligt förekommande, 5=rådan bara block. Stutenhalt: Se blockhalt. K=korpaktion: 1=lett okonsoliderad, 2=svagt konsol, 3=normalt konsol, (morän), 4=hårt, svårgrävt, 5=mtk hårt, 1 m ogräsvärd. Ru=runderingsgrad: 1=skarpkantigt, 2=kantigt, 3-kantavrundat, 4=urndat, 5=svål rundat.

Vänd

Sveriges geologiska undersökning  
Box 670  
75128 Uppsala

### Jordlagerföljd

ID nr  
**PFM002579\_S1**

Kartblad **12I 199** Runt **99** Gula kartan **6698194** o. **1633204** Höjd ö h **5m** Lokal namn **17A**  
 Typ av avlagring, yttre **Flack moräntäckt kulle** Upphällningsnamn **A. Sundh G. Skhnius** Byggn. anläggning   
 Grundvya **7/8 2003** Övrigt **A. Hedenström** Vägskiltning  Naturlig skärning   
 Mastringrävs gropar  Vagbänning  Annat  Schaktbarhet  Dem. mitl

Provnr	Jord mån bry	djup dm	m u my	Övrigt	Rikets nr	Gula kartan	Höjd ö h	Lokal namn	Upphällningsnamn	Täkt nr	Schaktbarhet	Dem. mitl	Övrigt (färg, abuktur m m)	Ange 1-5				
														So	Bl	St	K	Ru
PFM002579																		
-1		0-10																skarp gräns nedåt, mandlas uppåt av glaciallera brungula i färgen. Lagret lätt skiffrikt, kan tydligt se tjälprocesser som nått till lagret under del.
-2		10-20																Stenarrrikade partier förekommer även rena siltpartier förekommer starkt oventor berggrundytan. Färgen är grå till rost- spräcklig.
-3		20-30																Irgen tydlig markprofil/utbildad, humusskiktet 5-10 cm, rot djupet ca 0,5 m.
		30-40																Prover: PFM002579_1 0,05m Humusprov -- 2579_2 0,4m Siltig diamiktong -- 2579_3 0,7m Sandig-siltig morän

So=svandlingsgrad: 1=ljus, 2=svart, 3=svart, 4=svart, 5=svart, 6=svart, 7=svart, 8=svart, 9=svart, 10=svart  
 ru=rotdjup: 1=0-10 cm, 2=10-20 cm, 3=20-30 cm, 4=30-40 cm, 5=40-50 cm, 6=50-60 cm, 7=60-70 cm, 8=70-80 cm, 9=80-90 cm, 10=90-100 cm  
 K=karaktär: 1=normalt, 2=starkt, 3=svagt, 4=svagt, 5=svagt, 6=svagt, 7=svagt, 8=svagt, 9=svagt, 10=svagt  
 Bl=blockhalt: 1=svagt, 2=svagt, 3=svagt, 4=svagt, 5=svagt, 6=svagt, 7=svagt, 8=svagt, 9=svagt, 10=svagt  
 St=stenhalt: 1=svagt, 2=svagt, 3=svagt, 4=svagt, 5=svagt, 6=svagt, 7=svagt, 8=svagt, 9=svagt, 10=svagt  
 S=skarpkantigt: 1=svagt, 2=svagt, 3=svagt, 4=svagt, 5=svagt, 6=svagt, 7=svagt, 8=svagt, 9=svagt, 10=svagt  
 Ru=rundningsgrad: 1=svagt, 2=svagt, 3=svagt, 4=svagt, 5=svagt, 6=svagt, 7=svagt, 8=svagt, 9=svagt, 10=svagt  
 4=halt, svagt, 5=svagt, 6=svagt, 7=svagt, 8=svagt, 9=svagt, 10=svagt

Vänd

Part orient.= PO, Mekanisk analys=ME, Kemisk-mineralogisk analys=KE, Mikroosilanalys=MI

Sveriges geologiska undersökning  
Box 670  
75128 Uppsala

# Jordlagerföljd

ID nr  
**PFM002580\_S1**

Kartblad **12 I 99** Rullguld **99** Gula kartan **6648213** or **1631670** Höjd ö h **2m** Lokal namn **16**  
 Typ av byggnad, yttom **Flack moränrenning med tunt täcke av ställgrus-glacialera.** Upphällsmannas namn **M. Sundh G. Sohlenius**  
 Grundnivå **2,2** m u my **8/8 2003** Övrigt

Maskinkävd grop  Byggnadsanläggning   
 Täkt  Vagsäkring  Naturlig skärning   
 Annat  Schaktbarhet  Dom. mt

Provnr Analyser	Jord- djup m dm gy	N	lager nr	Jordarsymbol	Kornstolek Prim/Sekund.	Ange 1-5					Övrigt (färg, struktur m m)	
						So	Bl	Sl	K	Ru		
			1	G	Ställgrus							Rödbrun varmig glaciallera
			2	L	Glacialera							Gränsen mellan glacialleran och det diamiktona lagret utgörs av ett tunt (2mm) siltskikt.
			3	Di	Grundmassa siltig ler med entalica smötkorn-grus.	1	3	4	3			Ett stenarrikat ca 5cm mäktigt skikt i överytan på moränen. De flesta stenarna ligger med längsaxeln parallell med markytan.
			4	↑	Dominerande finsandig							Entiska "kifformade" strukturer med högre stenhalt och rgt. grövre sammansättning (mellanständig) förekommer ned till ca 1m:s djup i botten. De liknar dock ej iskilar eller dylika bildningar.
				↑	Något finkornig sammansättning sandig-siltig.							Moränen är i övrigt homogen utan specifika strukturer.
				sa-si								8-10 år gammalt bygge, gran-tallskog.
												Ingen synlig markprofil utbildad.
												Humuslagret = rotfilten ca 5cm.
												Rottdjup 10-15cm.

So=sorteringsgrad; 1=fin, 2=sv, 3=uller, 4=sp, 5=mtk och sortering. Bl=blockhalt; 1=hög, 2=svagt, 3=svagt, 4=svagt, 5=svagt.  
 Di=entaltal; 1=entaltal, 2=svagt, 3=svagt, 4=svagt, 5=svagt.  
 Ru=runderingsgrad; 1=skarptkantigt, 2=kantigt, 3=konturrunderat, 4=runderat, 5=runderat.

Part. orient.= PO. Mekanisk analys.= ME. Kemisk-mineralogisk analys.= KE. Mikrostrukturanalys.= MI

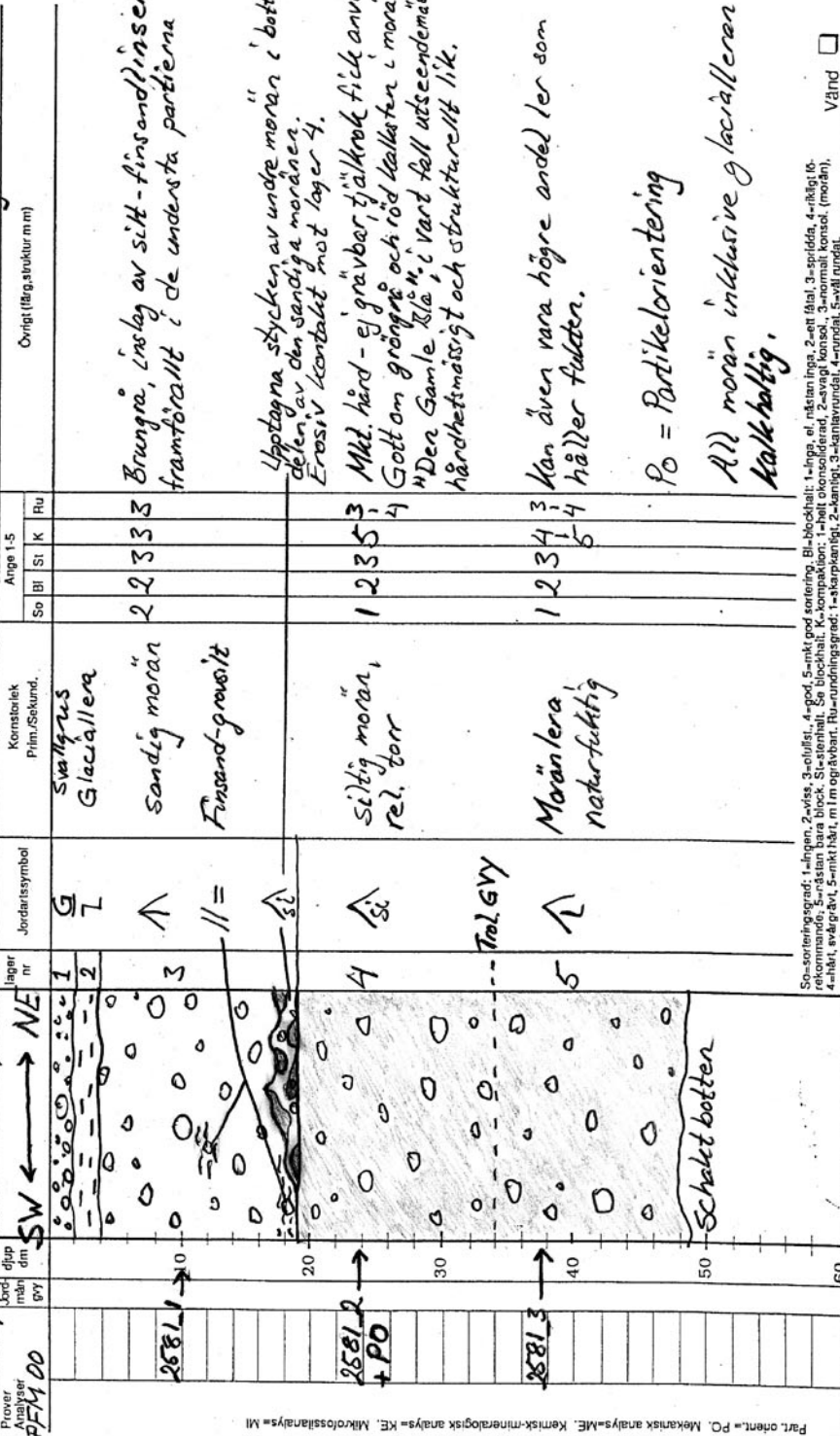
Vänd

Sveriges geologiska undersökning  
 Box 670  
 75128 Uppsala

## Jordlagerföljd

ID nr  
**PFM002581\_S1**

Kartblad **221 NO** Fylla **99** Rikets mät. N: **66 49 18** o. **16 30 539** Höjd ö h. **22 B** Lokal namn  
 Typ av avbrottsytan **Flacke Sänka i underlärande moränenäng** Upplysningsnamn  
 Guldnylva **rot. 3, 4** m u my **sv** m u my **sv** m u my **sv** m u my **sv** m u my  
 Övrigt **Avslut. 88 - 1/8 2003** Upplysningsnamn  
 Process Analyser **PFM 00** **SW ← → NE** **A. Hedenström**  
 Måstingsrövd grop  Vagstämning  Schackbotten **2 dg**  
 Täkt  Annat  Täkt nr  Dem. mtrl



Sveriges geologiska undersökning  
Box 670  
75128 Uppsala

# Jordlagerföljd

ID-nr: **PFM002582\_S1**

Maskingrävd projekt  Byggnadsprojekt   
 Täkt  Vägskärning  Naturlig skärning   
 Annat: ..... Schaktbarhet: ..... Dom. mfl

Kärlbetyg: **B I**  
 Typ av utsläppning, yttorr  
 Grundvatten: **SE**

Rulldjup: **4g**  
 Gula kartan: **1630391**  
 Höjd ö h: **4m**  
 Lokal namn: **3**

Riktning: **66 98 865**  
 Uppställningsnummer: **Sundh G. Schlenius**  
 Grundvatten: **Västrägen**  
 Datum: **11/8 2003**

Provnr Analysnr	Känd djup mån dm	m u my	Ovrigt	Jordartensymbol	Kornstorlek Prim./Sekund.	Lager nr	Ange 1-5			Övrigt (färg, struktur m m)	
							So	Bl	St		K
1	0-10			G	Svällgrus	1	2	1	3	3	Lager 2: Moränligt, kan ev. vara utflutet/skredet mtrl., ligger som en ficka med erosiv kontakt mot underliggande glaciallera, före terrarr-syns var. klippa av lagret.
2	10-20			L	Sandig Glaciallera	2	1	3	3	3	Lager 3: Strömskiktad, subglacialt - proglacialt avsett.
	20-30			S	Stenrik, slit-ler i övre delen, sand i under Mellan sand	3	2	4	3	3	Lager 4: Homogen utan synliga s-strukturer
	30-40			Λ	Sandig	4	1	2	3	3	Lager 5: Lager 2; saknas i schaktets östra vägg
	40-50					5					Lager 6: Lager 3; 35 var kunde räknas i den mätligaste delen av glacialleran.
	50-60					6					Lager 7: Lager 4; mätigare (0,8 m) i östväggen, stenarrikningar förekommer. Liksom sandfickor, tolkas som en ablations- morän o.t. utflutet moränmaterial.

Rotdjup 0,3 m, enstaka trädrotter ned  
till 0,8-1 m:s djup.  
Alla lager förutom svällgruset är  
kalkhaltiga.

So=sorteringsgrad: 1=ingen, 2=miss, 3=ullar, 4=god, 5=mkt god sortering. Bl=blockhalt: 1=ingen, 2=ett fåtal, 3=spridda, 4=rikligt lö-  
rekommande, 5=råsan bara block. St=stenhalt. Se blockhalt. K=kompaktion: 1=ett obonsoliderad, 2=svagt konsol., 3=normalt konsol. (morän),  
4=hart, svågrävt, 5=mkt hårt, m 1 m ogåbart. Ru=runderingsgrad: 1=skarpkantigt, 2=kantigt, 3=konvolutat, 4=urndat, 5=väl rundat.

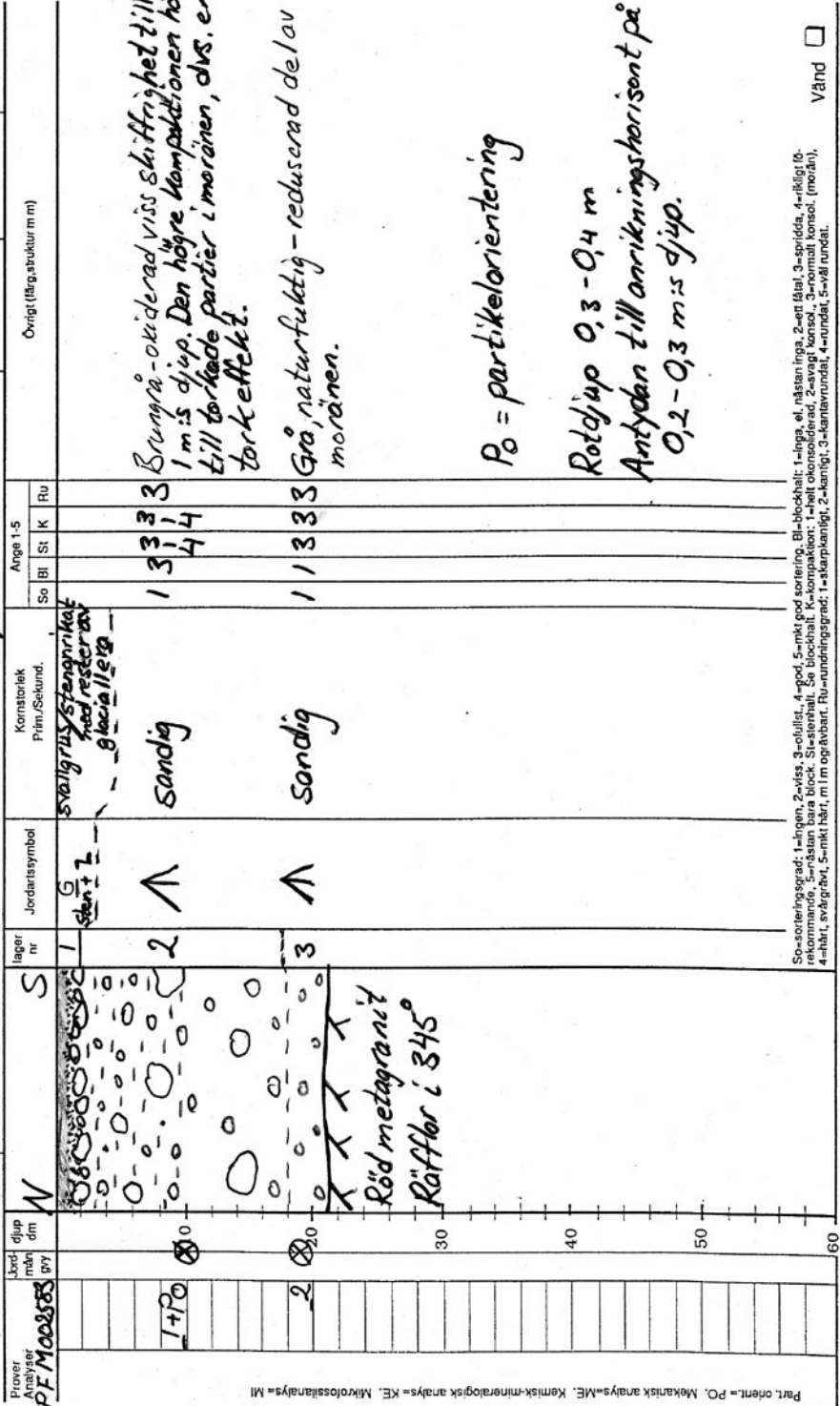
Vänd

Sveriges geologiska undersökning  
Box 670  
75128 Uppsala

### Jordlagerföljd

ID-nr  
**PFM002583\_S1**

Kartblad <b>12 I 99</b>	Rivis nr <b>6697440</b>	Geol. karta <b>1632010</b>	Höjd ö h <b>6 m</b>	Lokal namn <b>6</b>	Måstingsförd. grupp <input checked="" type="checkbox"/>	Byggn. anläggning <input type="checkbox"/>
Typ av utgrävning, yttor <b>Kanten av flacke normablockig moränkulle</b>	Uppställningsnr <b>V. Sundh A. Hedens träm</b>	Uppställningsnr <b>1-18 2003</b>			Täkt <input type="checkbox"/>	Naturlig skärning <input type="checkbox"/>
Grundytan <b>m u my</b>	Ovrigt				Annat <input type="checkbox"/>	Dom. mtl <input type="checkbox"/>



So=sorteringsgrad: 1=ingen, 2=viss, 3=ullist, 4=god, 5=mt god sortering. Bl=blockhalt: 1=inga, el. nästan inga, 2=ett blåk, 3=spärda, 4=fligt (6-rekommendera, 5=räsan bara block. St=stenhalt. Se blockhalt. K=kompaktion: 1=mt okonsoliderad, 2=svagt konsol, 3=normalt konsol. (morän), 4=hart, svågråvt, 5=mtt hårt, m 1m opgrävt. Ru=rundningsgrad: 1=starkkantigt, 2=kantigt, 3=kantavrundat, 4=rundat, 5=väl rundat.

Vänd

Part. orient.=PO. Mekanisk analys=ME. Kemisk-mineralogisk analys=KE. Mikrofossilanalys=Mf

Sveriges geologiska undersökning  
Box 670  
75128 Uppsala

### Jordlagerföljd

ID-nr **PFM002584\_S1**

Maskingrivd grop  Bygge, anläggning   
 Täkt  Vagstämning  Naturlig skärning   
 Annat  Schaktbarhet  Dom. mit

Kartblad **RI 99** Rupa **99** Gula karta **6697296** o: **1631630** Höjd ö h **8 m** Lokal namn **5A**  
 Type av avläggning, ytform **Flecke moränryta strax öst om uppstickerade höllparti** Uppställningsnummer **14 Surin G. Söhlenius**  
 Grundvika **148 2003** Övrigt **A. Hedenström**

Prover Analyser	Jord djup m u m y	lagar nr	Jordartssymbol	Kornstorlek Prim./Sekund.	Ange 1-5			Övrigt (färg, struktur m m)	
					So	Sl	K		Ru
		1	g	Spialgrus-sten med rester av gipsvalleria	2	1	3	2	Moränen verkar vara ngt. tvättad, rena grusskikt förekommer. Sittkappa närmast berggrunden.
		2	Λ	Sandig					Rotdjup 0,2-0,3 m.
				Röd metagranit Raffbr i 355°					

So=sorteringsgrad, 1=ingen, 2=lätt, 3=ullig, 4=epod, 5=mitt god sortering. Ru=blockhalt: 1=inga, 2=ett flak, 3=spridda, 4=flöjst (förekommade), 5=råsten bara block. Sl=stenhalt. Se blockhalt. K=kompaktion: 1=helt okonsoliderad, 2=svagt konsol, 3=normalt konsol. (morän), 4=hårt, svågrävt, 5=mitt hårt, m i m ogårbart. Ru=rundningsgrad: 1=skarpkantigt, 2=kantigt, 3=kantvrundat, 4=rundat, 5=väl rundat.

Vänd



Sveriges geologiska undersökning  
Box 670  
75128 Uppsala

### Jordlagerföljd

ID nr  
**PFM002585\_S1**

Kartblad <b>12 I</b>	Ripp <b>99</b>	Gula kartan	Rikets nr <b>697290</b> o. <b>1631640</b>	Hög öh <b>8 m</b>	Local namn <b>58</b>	Maskingrävd grop <input checked="" type="checkbox"/>	Bygge, anläggning <input type="checkbox"/>
Typ av avlagring, yttor, Grundv yta	Övrigt		Uppställaren <b>M. Sundh G. Schlenius,</b> <b>A. Hedenström</b>	Täkt <input type="checkbox"/>	Vägbärning <input type="checkbox"/>	Naturlig skärning <input type="checkbox"/>	Dom. mät <input type="checkbox"/>

Prover Analysnr <b>PFM002585</b>	Jord- djup mån dm gry	m u my	Inger nr	Jordarsymbol	Kornstolek Prim./Sekund.	Ange 1-5					Övrigt (färg, struktur m m)	
						So	Bl	St	K	Ru		
			<b>1</b>	<b>G</b>	<i>Stenigt grus</i>							
			<b>2</b>	<b>A</b>	<i>Sandig</i>							
	<b>1</b>											<i>Moränen betydligt stenigare än vid PFM002584. Siltkappa närmast berggrunden.</i>
	<b>2</b>											<i>Prover tagna dels i moränen -1, dels i siltkappan närmast berggrunden -2</i>
												<i>Rottdjup 0,3 m.</i>

So=sorteringsgrad; 1=fin, 2=vis, 3=ullst, 4=god, 5=mt god sortering. Bl=blockhalt; 1=inga, el. nästan inga, 2=ett bita, 3=spredda, 4=rådligt fö-  
ljande, 5=starkt följande. St=skårhalt; 1=svagt skårad, 2=skårad, 3=skårad, 4=skårad, 5=starkt skårad. Ru=ruvighetsgrad; 1=släppligt, 2=knäigt, 3=knäigt, 4=ruvigt, 5=starkt ruvigt. K=klipp, 1=klipp, 2=klipp, 3=klipp, 4=klipp, 5=klipp. R=rottdjup; 1=0,2-0,3 m, 2=0,3-0,4 m, 3=0,4-0,5 m, 4=0,5-0,6 m, 5=0,6-0,7 m.

Vänd

Sveriges geologiska undersökning  
Box 670  
75128 Uppsala

### Jordlagerföljd

ID-nr  
**PFM002586\_S1**

Kartblad **12 I 99** Rupp **99** Gula kartan Rikets mät- och provningsnät **6626575** 1631084 Höjd ö h **12 m** Lokal namn **4**

Typ av avlagring, vitform **Flack moränryta svagt sluttande mot öster.** Uppställningsnr **M Sundh A, Hedenström**

Grundavläggningsyta m u my **13/8 2003** Skaktbarhet Dom, mfr

Maskingrävd grop  Byggnadsanläggning   
 Tät  Vägskiljning  Naturlig skärning   
 Annat .....

Provnr Analyser	Lagdjup m	Lag nr	Jordartssymbol	Komposition Prim./Sekund.	Ange 1-5 So Bl St K Ru	Övrigt (lågstruktur m m)
<b>PFM002586</b>	0-10	<b>1</b>	<b>Δ</b>	svallad, stenrik yta		Glaciärlera i ytan vid schaktet östligaste parti.
	10-20	<b>2</b>	<b>Δ</b>	sandig	1 1 4 3 4 3	Restutfällningar - oxiderad ned till ca 1 m:s djup. Kompaktare i ytan, eventuellt en torkeffekt.
	20-30	<b>3</b>	<b>Δ</b>	Sandig	1 1 3 3 3	De undre 0,7 m av bädden är naturfullständig. En del vittrad amfibolit i moränmassan, även vittrad amfibolit i grovgrusfraktionen.
	30-40					Vatten sipprar fram i nivå med berggrundsytan.
	40-50					Hela moränpacken är kalkhaltig.
	50-60					Rotdjup 0,3 m, humus lagret ca 5 cm mäktigt.
						P <sub>0</sub> = partikelorientering

So = sorteringsgrad: 1=fin, 2=vis, 3=ullig, 4=god, 5=mr god sortering. Bl=blockhalt: 1=inga, el nästan inga, 2=ett fåtal, 3=spridda, 4=rikligt förekommande, 5=rättan bara block. St=stenhalt. Se blockhalt. K=kompaktion: 1=helt okomplicerad, 2=svagt krossad, 3=normalt krossad. (morän). 4=halt, svårgrävt, 5=mtklt hål, m fr ogrundbort. Ru=ruineringsgrad: 1=skarplanligt, 2=kantigt, 3=horisontellt, 4=rundt, 5=svår rundt.

Part. orient. = P<sub>0</sub>. Mekanisk analys = ME. Kemisk-minerologisk analys = KE. Mikrofilanalys = MI

Vänd

Sveriges geologiska undersökning  
Box 670  
75128 Uppsala

### Jordlagerföljd

ID nr  
**PFH002587\_S1**

Kartblad <b>12 I</b>	Rupp <b>99</b>	Göta kanalen	Rikets nät No <b>68 96 764</b>	o. <b>1630497</b>	Höjd ö h <b>13 m</b>	Lokal namn <b>15</b>	Maskingrävd grop <input checked="" type="checkbox"/>	Byggn. anläggning <input type="checkbox"/>
Typ av avläggning, yttform, <b>Schaktet gravt i södra kanten av en moränhalk-rygg utträckt</b>		Uppställningsnummer <b>A. Hedenström</b>		Vägskiljning <input type="checkbox"/>		Naturlig skärning <input type="checkbox"/>	Täkt <input type="checkbox"/>	Annat <input type="checkbox"/>
Grundnivå <b>3</b>		Övrigt <b>1 MNW-SSE</b>		<b>18/8 2003</b>		Schaktbarhet	Täkt nr	Dem. mfl

Provnr Analysnr <b>PFH002587</b>	Jord- djup mån övy	Jord- lagor nr	Jordartssymbol	Kornstolek Prim./Sekund.	Ange 1-5					Övrigt (färg, struktur m m)	
					So	Bl	St	K	Ru		
		<b>1</b>	<b>g</b>	<b>svaligrus</b> Rest av glaciärlera							<b>Droppt block i glaciärleran</b>
		<b>2</b>	<b>7</b>	Sorterade partier av såväl silt som grus i moränmassen	<b>2</b>	<b>3</b>	<b>4</b>	<b>1</b>	<b>3</b>		<b>"</b> Ablationsartad, delvis sorterad morän. Sten-blockarrikade horisonter som ger intryck av upptransport mot söder. Moränen beige-grå, oxiderad. Visa partier hårda; torkeffekt ?
		<b>3</b>	<b>15</b>	Silt förekommer ofta draperad runt blocken i moränen							
		<b>4</b>	<b>4</b>	<b>sandig</b>	<b>1</b>	<b>1</b>	<b>3</b>	<b>3</b>	<b>4</b>		<b>Moränen gråaktig, reducerad.</b> Finns även ett red. högt inslag av Silt i moränen.
			<b>↑</b>								<b>All morän kalkhaltig.</b>

So-sorteringsgrad: 1=fin, 2=vis, 3=ulst, 4=gr, 5=mk god sortering. Bl=blockhalt: 1=inga, 2=ett litet, 3=spridda, 4=riktigt b-  
block, 5=många block. St=stenhalt: 1=ingen, 2=ett litet, 3=ett stort, 4=många, 5=många stora. Ru=ruvighetsgrad: 1=slipad, 2=slipad, 3=slipad, 4=slipad, 5=slipad.  
K=kvartskornigt, 1=slipad, 2=slipad, 3=slipad, 4=slipad, 5=slipad.

Vänd

Part. orient.= P.O. Mekanisk analys=ME. Kemisk-mineralogisk analys=KE. Mikroanalys=MI

Sveriges geologiska undersökning  
 Box 670  
 75128 Uppsala

### Jordlagerföljd

ID nr **PFM002588\_51**

Måstingsrad  Byggnadsanläggning   
 Täkt  Vägskärning  Naturlig skärning   
 Annat: \_\_\_\_\_

Kartblad **12I** Rullnr **199** Gåva kartan Höjd ö h **4m** Lokal namn **7**  
 Rullnr **6698220** o: **1633947** Uppställningsnr **H. Sundh G. Sollenius**  
 Typ av anläggning, yttre **Flack moränytta** **14/8 2003**  
 Grundv yta \_\_\_\_\_

Provnr Analyser	Lager nr	Jordartssymbol	Kornstorlek Pmm/Åsekund.	Ango 1-5 So Bl Si K Ru	Övrigt (färgstruktur m m)
PFM002588	1	SE	Stallgrus Gleiallera / steninslag	1 2 4 4 3	Stenrik
	2	SE	siltig		Lerigt-siltig morän, utgör en övergångs- zon mellan de två moräntyperna. Sadden kan utgöra en omlagringsprodukt av underlagrande $\Delta$ .
	3	SE	lerigt-siltig		
	4	SE	moränlera	1 1 3 3 3	Gott om kalksten och kalkstensfragmer i i moränen. Verkliga oxidiska sprickor i spår ned till underlagrande $\Delta$ där de upp- går. Ligger som en indistinkt koppa över berggrunden.
	5	SE	siltig	1 1 3 2 3	Roddjup 0,3 m Po = partikelorientering
	60				

So=sorteringsgrad; 1=ingen, 2=viss, 3=olust, 4=god, 5=mt god sortering. Bl=blockhalt; 1=inga, el, nästan inga, 2=ett fåtal, 3=spridda, 4=riktigt fö-  
 rekommenderade, 5=råttan bara block. Si=stenhalt. Se blockhalt. K=kompaktion; 1=ett okonsoliderad, 2=svagt konsol, 3=normalt konsol. (morän),  
 4=hart, svårgrävt, 5=mt hårt, m i m ogrävt. Ru=rundningsgrad; 1=skarpkantig, 2=kanligt, 3=kanterrundad, 4=rundad, 5=väl rundad.

Part. orient.=PO, Mekanisk analys=ME, Kemisk-mineralogisk analys=KE, Mikroskopanalys=MI

Svritiges geologiska undersökning  
Box 670  
75128 Uppsala

### Jordlagerföljd

ID-nr  
**PFM002589\_S1**

Karblad **12J 99** Rullg. **99** Gula kartan  
 Rikets nr **6697876** o. **1634554** Höjd öh **3 m** Lokalt namn **9**  
 Typ av avlagring, yttre **Akermark**  
 Grundv. via **4,9** m u my **15/8 2003** Upplysningsman **P. Sundh, G. Schlenius, A. Hederström**  
 Prover analysar **PFM002589** Lagers nr **1, 2, 3**  
 Beskr. djup m/ö m/ö gvy  
 Måskingsröd grop  Vägskärning  Byggn. anläggning   
 Täkt  Annat  Schaktbarhet  Domn. m/rl

Lager nr	Jordartssymbol	Kornstorlek Prim./Sekund.	Anrop 1-5	Övrigt (lagersstruktur m m)					
				So	Bl	St	K	Ru	
1	△ L-s	lerigt-siltig	1 1 3 3 3						Bungria, torr, oöskrad morän. Högre inslag av urberg i stenmaterialet jämfört med underlagrande morän.
2	△	moränlera	1 1 3 3 4						Ingen skarp gräns mellan moränbänning, troligen redok-processer som ger skillnad i färgutseende.
3	△ si	Proy för pollen analys siltig	1 1 3 2 3						Gröfärgad, troligen pga redaserande förhållanden naturfuktig morän. Högre kalkstensinslag jämfört med överlagrande morän. Moränen blöt, ger ett bandat-lagrat intryck i boddens övre del. All morän kalkhaltig. P <sub>0</sub> = partikelorientering

Se sorteringsgrad: 1=ingen, 2=svår, 3=olöslig, 4=god, 5=rikt god sortering. Bl=blockhalt; 1=inga, 2=ett litet, 3=spridda, 4=rikligt block. So=skott, Bl=blockhalt, K=kornstorlek, Ru=rumörning, St=sten, m=mjöl, m/ö=mjöl, gvy=grövt.  
 4=starkt, svårgrävt, 5=rikt hårt, m=mjöl, m/ö=mjöl, gvy=grövt.  
 1=starkt, 2=svårt, 3=normalt, 4=svårt, 5=rikt hårt.

Part. orient.= PO, Mekanisk analys=Mt, Kemisk-mineralogisk analys=KE, Mikrofossilanalys=MI

Sveriges geologiska undersökning  
Box 670  
75128 Uppsala

### Jordlagerföljd

ID nr **PFM002590\_S1**

Maskingsröv grop  
 Byggnadsanläggning  
 Tält  
 Vegetering  
 Naturlig skärmning  
 Annat  
 Schaktbarhet  
 Dem. mät

Lokal namn **10A**

Uppställningsmätare **G. Söhlenius**

Övrigt **18/8 2003**

Fluta **99**

Gula kartan

Höjd ö h **6m**

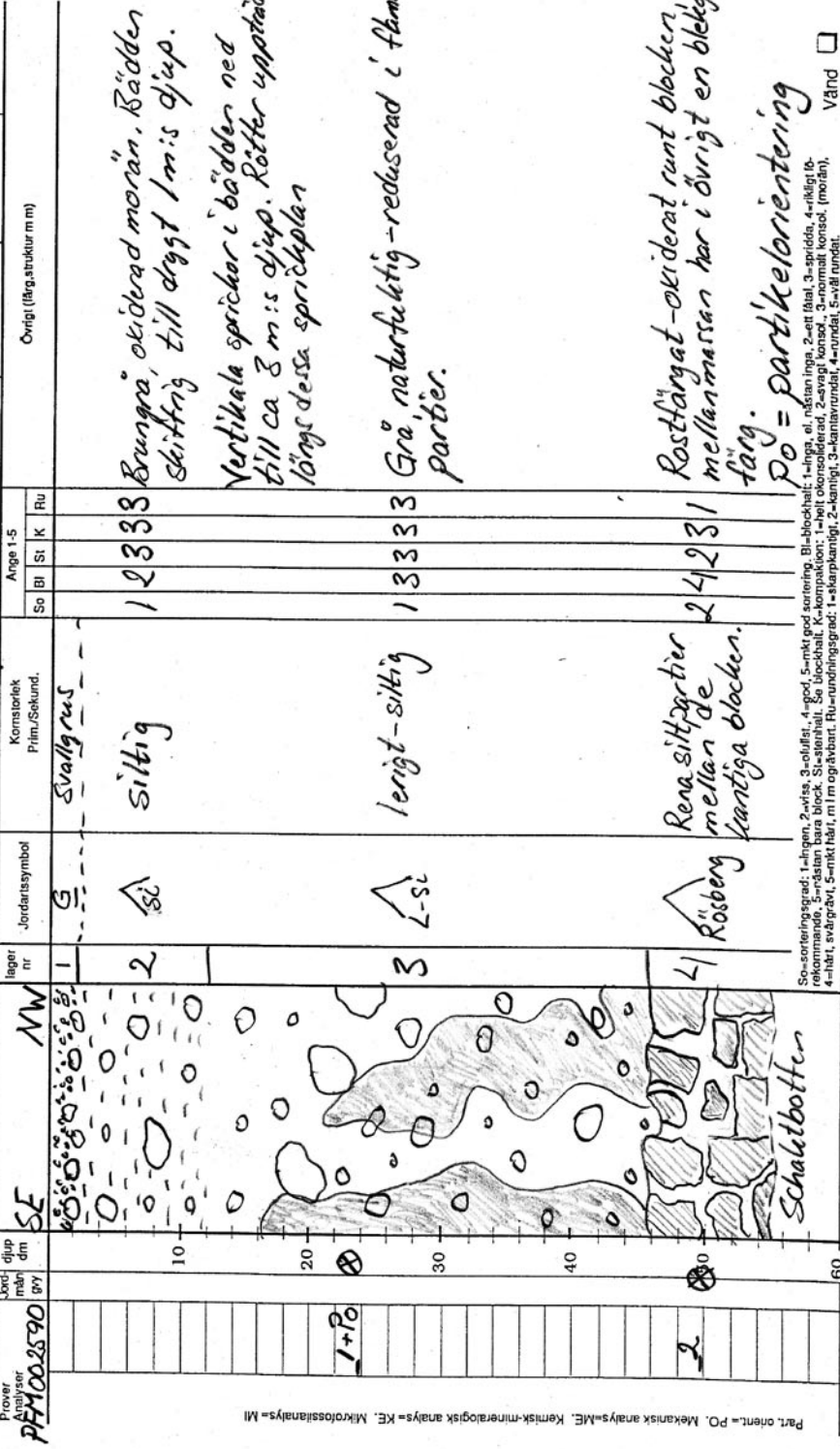
Jordartsymbol **SE**

Jordartsymbol **G**

Jordartsymbol **Si**

Jordartsymbol **Rösborg**

Jordartsymbol **Schaltbotten**



So = sorteringsgrad: 1=ingen, 2=visa, 3=ullar, 4=god, 5=mt god sortering. Bl=blockhalt: 1=inga, ol, nästan inga, 2=ett till, 3=spicida, 4=rikligt fo, rekommendera, 5=räsian bara block. Si=stenhalt. Se blockhalt. K=kompaktion: 1=ett okonsoliderad, 2=svagt konsol, 3=normalt konsol. (morän), 4=hart, svårgrävt, 5=mt hårt, m 1 m ojärbart. Ru=rundningsgrad: 1=starkkantigt, 2=kantigt, 3=kantavrundat, 4=rundat, 5=väl rundat.

Part. orient.= PO. Mekanisk analys.=ME. Kemisk-mineralogisk analys.=KE. Mikroossellanlys.=MI

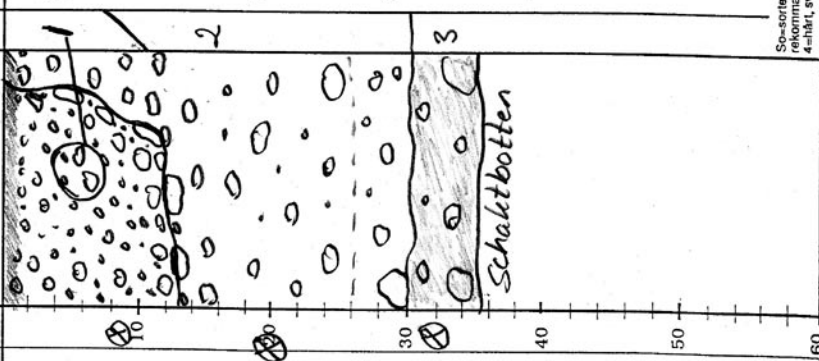
Sveriges geologiska undersökning  
Box 670  
75128 Uppsala

# Jordlagerföljd

ID-nr  
**PFM002591\_S1**

Kartblad **12I 99** Rujn **99** Gula kartan  
 Typ av avgrävning, yform **Flack moränryta söder om PFM002590** Höjd ö h **5m** Lokalt namn **10B**  
 Gruggyta **36-4** m u n y **19/8 2003** Övrigt **A. Hedenström** Uppställsnummer **M. Sundh G. Sohlenius**  
 Maakgrävd grop  Byggn, anläggning   
 Tåkt  Vägläring  Naturlig skärning   
 Tåkt nr  Annat  Schaktbarhet  Dom, mtr

Provnr Analysnr PFM002591	Löd m dm gy	djup m	lager nr	Jordartssymbol	Kornstörlek Prim./Sekund.	Ango 1-5					Övrigt (lågstruktur m m)
						So	Bl	St	K	Ru	
1			1	Diamikton smästenigt grus i en mellanmassa av lerig-silt		1	1	4	3		Kan vara en om lagringsprodukt av den undre moränbåden, stenarrikning i gränzonen samt vertikala stenar i vertikala kontakter tyder åtminstone på pressning - erosion. Lagret upphör mot söder med en vertikal kontakt mot moränen.
2			2	lerigt-siltig		1	1	3	3		Brungrå, oxiderad morän med vertikalt stående sprickor (torksprickor?).
3		30	3	Ökande lerhalt mot djupet, dock gånmt fördelat.		1	1	3	3		Grå reducerad morän. Vattenmättat, gungigt-löst, grundvattentytan torde ligga i denna del.  Lager 1: Lagret mäktigare på östra sidan av schaktet (1,3 m) än på den västra sidan (0,9 m). Det diamiktona lagret liknar inte en morän utan är snarare avsatt som en flytande slurry.  Alla bäddar inklusive det diamiktona lagret är kalkhaltiga.



So=sorteringsgrad; 1=fin, 2=vase, 3=ululsi, 4=god, 5=mt god sortering. Bl=blockhalt; 1=inga, 2=1-3, 3=spreda, 4=rillig fyllning av stora block, 5=stora block. St=stenhalt. Se blockhalt. K=kompatibel; 1=ett okonsoliderad, 2=svagt konsol, 3=normalt konsol. (morän). 4=starkt, svagt konsol, 5=starkt konsol. Ru=undningsgrad; 1=skarpkantig, 2=skarpkantig, 3=kantavrundad, 4=avrundad, 5=väl rundad.

Part. orient.= PO. Kemisk-mineralogisk analys=KE. Mikrofossilanalys=M

Vänd

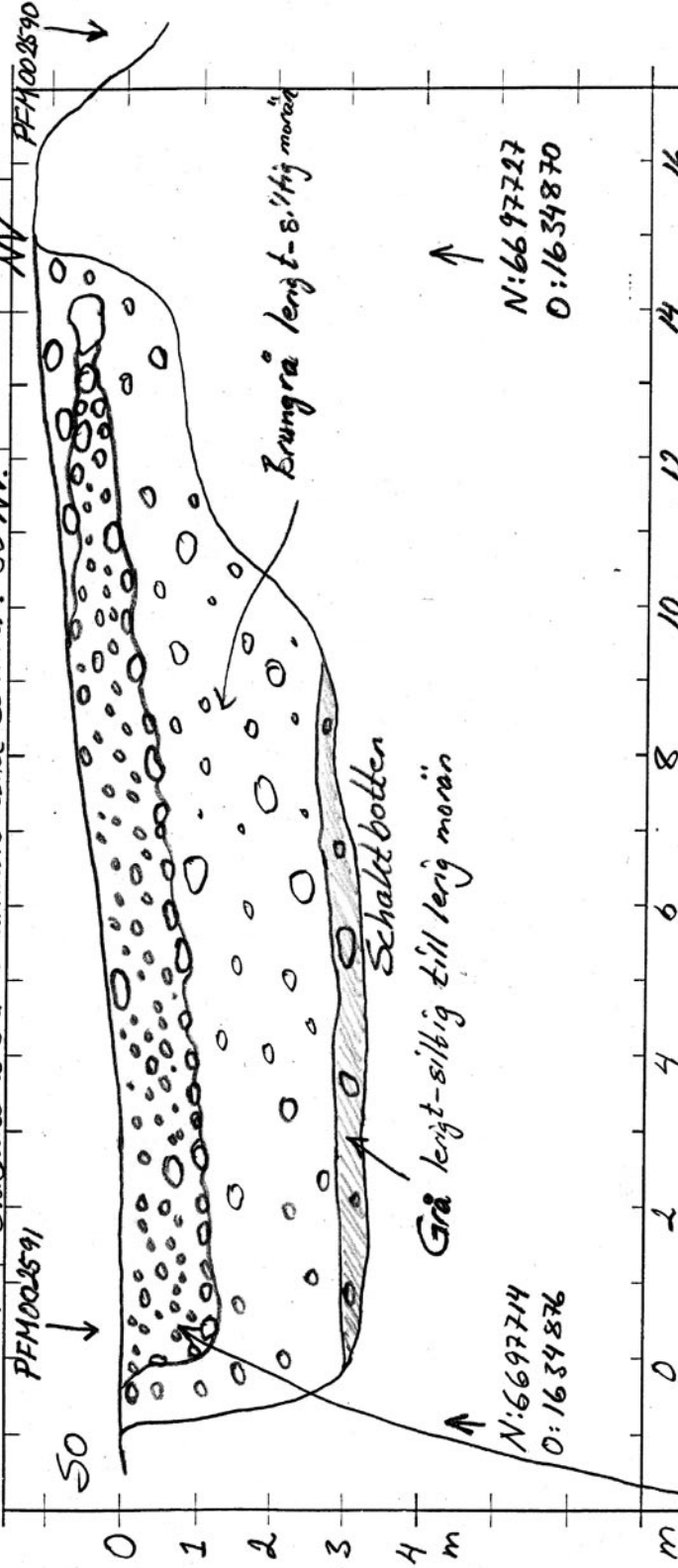
Sveriges geologiska undersökning  
Box 670  
75128 Uppsala

### Jordlagerföljd

ID nr **LFM000581S1**

Maskgrävd grop  
 Byggnadsanläggning  
 Fäkt  
 Vegetering  
 Naturlig skärning  
 Annat

Kartblad **22I NO 99** Gula kartan  
 Riktning på **19/8 2003** koordinater i schaktet **NV-ände**  
 Lokal namn **Lokal 10 a-b**  
 Höjd ö h **5 m**  
 Uppställningsare **MSD AHM GSS**  
 Grundv yta **Översiktsskiss över det sammanbindande schaktet i SO-NV.**  
 m u my  
 Schakt nr **PFM002591** Dom. mbl **NV PFM002590**



Det stenarrikade lagret verkar att skära schaktet i ungefär N-S vid schaktets  
 NV-liga ände. Lagrets mäktighet är där ungefär 1/2 meter. Kontaktlinjen mot under-  
 liggande morän lätt undulerande, vissa partier ser klart skjuvade ut, spride-  
 bildning i moränen under dessa partier.



Sveriges geologiska undersökning  
Box 670  
75128 Uppsala

## Jordlagerföljd

ID-nr  
**PFM002592\_S1**

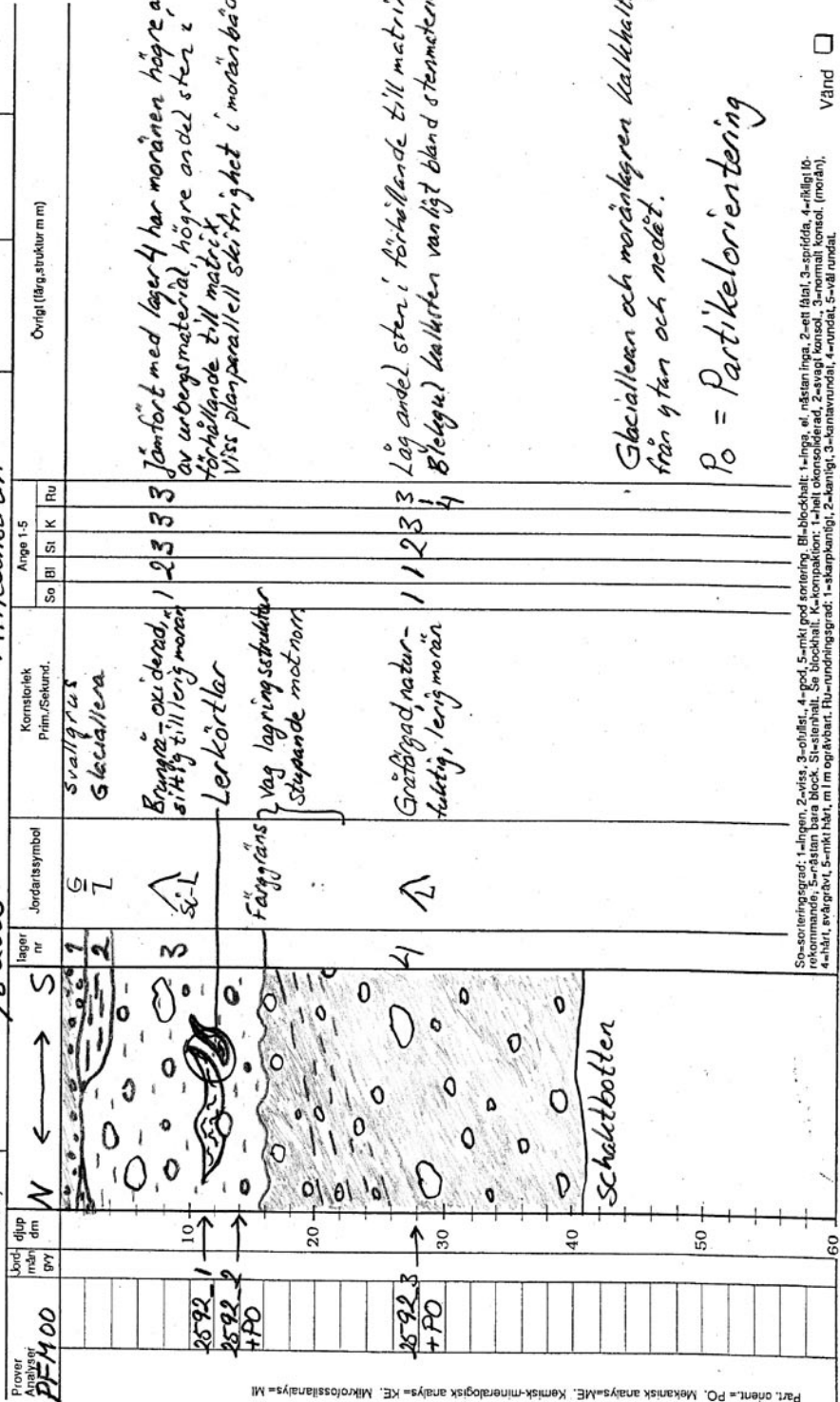
Kartblad: **L21NO 99** Rujb: **99** Gula kartan: **6697082 o/ 634790** Höjd ö.h: **4 m** Lokal namn: **11A**

Byggnadsgrupp:  Måskingrövd grop  Byggnadsanläggning  Naturlig skärning  Takt  Vägskärning  Annat:  Schaktbarhet:  Dom. mtl

Uppställningsnamn: **M. Sundh, G. Schlenius, A. Hedenström**

Övrigt: **svagt sluttande mot söder**

Grundytta: **20/8 2003**



Glaciallera och moränlagren kalkhaltiga från ytan och nedåt.  
P<sub>0</sub> = Partikelorientering

Vänd

Sveriges geologiska undersökning  
Box 670  
75128 Uppsala

### Jordlagerföljd

ID-nr **PFM00259351**

Maskinrävd grop  Byggnadsanläggning   
 T&K  Vägskärning  Naturlig skärning   
 Avsnitt  Schaktbarhet   
 Täkt nr  Dem. mät

Kartblad **12 I 99** Gula kartan **11 B** Lokal namn **11 B**  
 Rikspolisstyrelsen **6677241** Högjd öh **5 m** Upphållsmärke **11 B**  
 Typ av avlagring **Angmark - träda** **Y. Sundh G. Sollenis**  
 Grundv yta **29/8 2003** Täkt nr **29/8 2003**

Prover Analyser	Jord- djup m dm cm	m u my	S	lager nr	Jordarsymbol	Kornstorlek Prim./Sekund.	Lokal namn	Anga 1-5				Övrigt (fåtg.abstruktur m m)	
								So	Bl	St	K		Ru
				1	I	Motjordslager, mest sten							
				2		Glaciallera							
				3	st-l	siltig - lera							Väg skiffrighet/lagerstruktur synlig ned till ca 1 m i djup. Bådden verkar närmast siltig upp till, siltig - lerig ned till. Toppskikt sammolikt pga ett högre lerinnehåll i den äldre moränen. Grafärad med rostflammiga partier dvs delar av bådden oxiderad.
				4		moränlera							Indistinkt färggrän.
						moränlera							Grafärad, naturfuktig - redaserad.
													Moränlagersevensen mycket lik den vid PFM002592.
													Såväl glaciallera som moränen kalkhaltiga.

So=sorteringsgrad; 1=ingen, 2=viss, 3=ofullst., 4=god, 5=mycket god sortering. Bl=blockhalt; 1=inga, el. nästan inga, 2=ett litet, 3=spridda, 4=många (ö-rekommend.) 5=risänan bara block. St=stenhalt. Se blockhalt. K=kompaktion; 1=helt okonsoliderad, 2=svagt konsol., 3=normalt konsol. (morän), 4=hårt, svårgrävt, 5=mycket hårt, m i m ogrävt. Ru=rundningsgrad; 1=skarpkantig, 2=kantig, 3=kantirundad, 4=rundad, 5=väl rundad.

Vänd

Sveriges geologiska undersökning  
Box 670  
75128 Uppsala

# Jordlagerföljd

ID-nr  
**PFM002594-S1**

Måstingsgrad  Byggs anläggning  
Täkt  Väststärning  Naturlig stärkning  
Annat

Täkt nr  
Schaktbarhet  
Dom. mtl

100% ö h  
7m  
Lokal namn  
Uppgiftslämnare  
**M. Sundh**

Geografiska koordinater  
Gula kartan  
Rikets nät  
12I NO 99  
6696431  
1633982  
Byggs av anläggning, ylför  
Stensmacks-hytte, Svagt sluttande markyta mot SV.  
Grundyta  
Origt Avlut 2/18 2003

Prover nummer	Jord djup mån dm py	m u my	Jordartsymbol	Kornstorlek Pim./Sekund.	Ange 1-5 So Bl Si K Ru	Övrigt (färg, struktur m m)
PFM00		NO ← SV				
25-94-1 + PO	10		1	Lerig morän	1 2 3 3	Brungrå oxiderad massformig dock med ett lagt skiffrit utseende. Högre inslag av urbergsmaterial i den övre moränenheten. Gränsen mot lager 2 förefaller att vara skarp, troligen erosiv.
25-94-2 + PO	20		2	Moränen banded, uppbyggd av siltiga resp. leriga diamiktone lager	1 2 3 1 4	Brungrå-oxiderad del
	30		3	Moränen banded siltiga siltiga moränen vårter med värligge	2 3 1 4	Grå - reducerad del Bandningen tydligast i den reducerade delen av moränbänken
	40		4	Leriga moränlager.	3 1 4	
	50			Schaktbotten		
	60					

So-sörningsgrad: 1-lingen, 2-vissa, 3-oftast, 4-god, 5-mkt god sortering. Bl-blockhalt: 1-låga, el. nästan inga, 2-ett fåtal, 3-spridda, 4-rikligt lösligt material i block. Si-stierhalt: Se blockhalt. K-kompaktion: 1-mkt obersäddad, 2-svagt konsol., 3-normal konsol., (morän), 4-hårt, svårgrävt, 5-mkt hårt, m m logarbart. Pu=utvinningsgrad: 1-svårpuvinnigt, 2-benigt, 3-lättavvinnigt, 4-normalt, 5-väl rulligt.

Hele moränpacken är kalkhaltig.  
Po = Partikelorientering

Värd

Sveriges geologiska undersökning  
Box 670  
75128 Uppsala

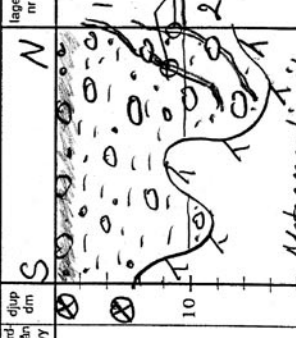
### Jordlagerföljd

ID-nr **PFM002595\_S1**

Maskinrävd grop  Byggnadsanläggning   
 Tätort  Vägskärning  Naturlig skärning   
 Annat  Schaktbarhet  Dom. mfr

Kartblad **12I 49** Rikets nät. No: **66965630:163931** Höjd ö h **5 m** Lokal namn **14**  
 Typ **Angivande, yform** Uppställningsnamn **V. Sundh G. Söstenius**  
 Grundvy **Grundvy** Övrigt **22/8 2003**

Prover nr <b>PFM002595</b>	Lager nr	Jordst. symbol	Kornstorlek Prim./Sekund.	Ange 1-5					Övrigt (fölg. struktur m m)
				So	Bl	St	K	Ru	
1	N	L-sc	lerig-siltig	1	1	3	4	3	Brungrå, oxiderad bödd med horisontell skiffrihet. I ytan finns rester av glaciärena mellan stenarna.
2	2	sil	siltband siltig	1	1	3	4	3	Brungrå, oxiderad. Enstaka ljusa siltband skär brant genom moränerna. Eventyrligt någon form av skjuvning av hela moränpacken med sprickbildning som följd.  Humusskikt ca 10cm. Rotdjup ca 1,3m.



Metagrandiorit  
 Dominerande råffel-  
 System i 360-20 på  
 Uppsticande håll  
 partier.  
 Vag råffling i 285°  
 på liten lösideryta  
 brant sluttande mot  
 Söder.

So=sorteringsgrad: 1=finnig, 2=vis, 3=ulligt, 4=god, 5=mtk med sortering. Bl=blockhalt: 1=ingen, 2=stån inga, 3=ett flak, 3=spridda, 4=stligt 15 rekommenderade, 5=stån bara block. St=stenhalt. Se blockhalt. K=kompaktion: 1=helt okonsoliderad, 2=svagt konsol, 3=normalt konsol. (medel), 4=hårt, svårgrävt, 5=mtk hårt, m i m ogrävbart. Ru=runderingsgrad: 1=skarpkantigt, 2=kantigt, 3=kantvundat, 4=vundat, 5=ullt rundat.

Vänd

Part. orient.=PO. Mekanisk analys=ME. Kemisk-mineralogisk analys=KE. Mikrofossilanalys=Mf

Sveriges geologiska undersökning  
Box 670  
75128 Uppsala

## Jordlagerföljd

ID-nr  
PFM004514\_S1

Kartblad 12 I Runt 99 Gula kartan Rikets nät 696 354 o. 163 682 Höjd ö.h. 3 m Lokal namn 13 B  
 Typ av avlagring, yttre Blockfattig flack moränryta glente i 20-30 cm granskog Uppställsgunnare M. Sandh G. Schlenius, A. Hedenström  
 Grundv. nivå 2,9 m u.n.y. Övrigt 22/8 2003  
 Maskingrävd grop  Byggn. anläggning   
 Täkt  Vägarbänning  Naturlig skärning   
 Annat  Schaktbarhet  Dom. mtl

Prover analys PFM004514	Löd- djup m dm gy	m u n y	N	Inger nr	Jordartssymbol	Kornstörlek Prim./Sekund.	Beskrivning	Ango 1-5					Övrigt (färg, struktur m m)
								So	Bl	St	K	Fu	
				1	△-si	Rester av glaciärlera		1	2	3	3		Erosionskontakt m ellan moränen och det diamiktont sandiga lagret.
	10			2	Diamikton	lerig-siltig		1	1	3	3		ser ej ut som en vanlig morän jmf. med PFM002591. Erosionskontakt mot glaciärlera.
				3	△	Glaciärlera					2		Rödbrun, ej kompakterad glaciärlera.
	20			4	si	Moränlera		1	1	2	2		Mörklgrå, reducerad moränlera. Genom moränleran skär ett uthålligt siltband som stupar lätt mot norr. Siltan är blott skalkhaltig.
	30			5	△-GV	siltig		1	1	2	2		Ljusgrå, fuktig till blöt moränbädd.
													Samtliga lager kalkhaltiga.

So-sorteringsgrad: 1=fin, 2=vis, 3=ullar, 4=god, 5=mk god sortering. Bl=bedhalt: 1=inga, el nästan inga, 2=ett flak, 3=spridda, 4=rikligt förekommande, 5=genom bära block. Sk=skikt: 1=ett oömsoliderat, 2=svagt konsol., 3=normalt konsol. (morän), 4=starkt, 5=svagt. S=skikt: 1=1 m oömsoliderat, 2=2-3 m, 3=3-5 m, 4=4-6 m, 5=5-6 m. Fu=förutningsgrad: 1=skarpkantig, 2=slättig, 3=slättkantig, 4=slättig, 5=slättig.

Part. orient. = P.O. Mekanisk analys = ME. Kemisk/mineralogisk analys = KE. Mikroanalys = MI

**Clast fabric analysis in till presented in diagrams**

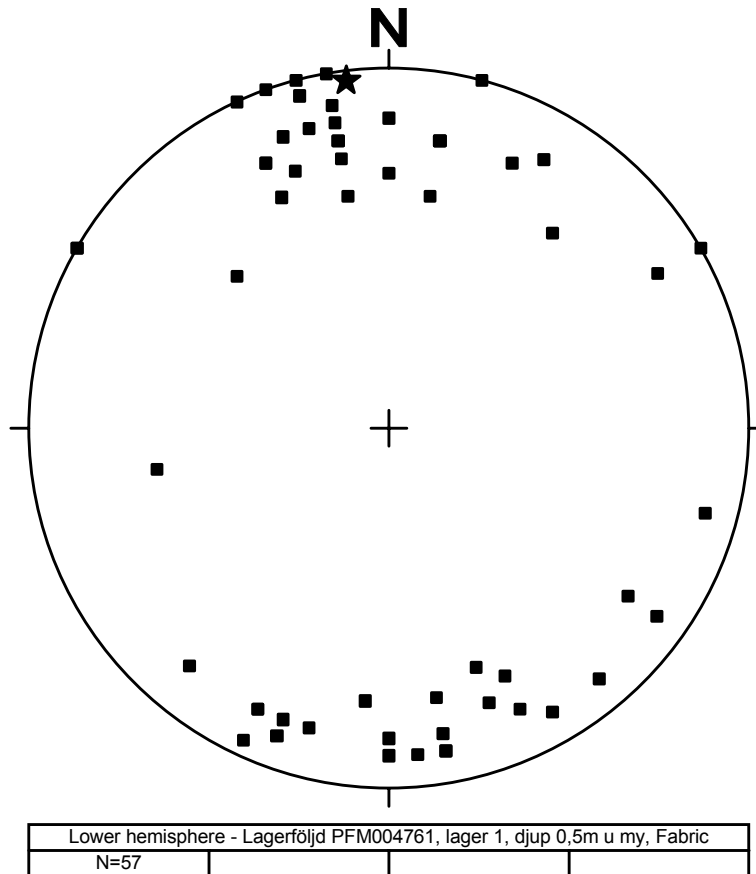
**Clast-fabric analysis in till presented in diagrams with tables showing the statistic values**

Data obtain from clast-fabric is plotted as three-dimensional orientation data (StereoNet for Windows, version 3.01). The principal eigenvector V1, marked as a star, is also presented in the StereoNet Graphical circles.

The plot-statistics over Eigenvectors and Eigenvalues are presented in a table beneath each diagram.

Clast-fabric analysis plotted as three-dimensional orientation data is presented from the following investigated sites:

<b>Id -code</b>	<b>Depth (m)</b>
PFM004761	0.5
PFM002578	2.5
PFM002581	2.4
PFM002583	1,0
PFM002586	1.1
PFM002588	2.1
PFM002589	1.3
PFM002589	2.4
PFM002590	2.3
PFM002592	1.2
PFM002592	2.8
PFM002594	0.6
PFM002594	1.4



### EIGENVECTORS

	l	m	n	Strike	Dip
V1=	0.991	-0.122	0.054	352.977	3.104
V2=	0.120	0.992	0.035	83.085	2.003
V3=	-0.058	-0.028	0.998	205.873	86.305

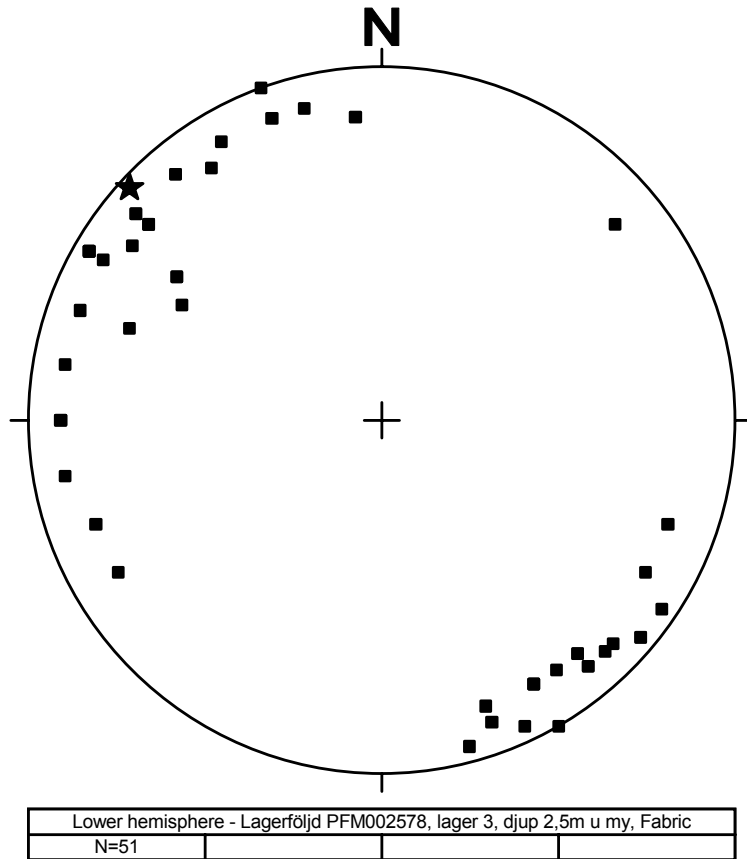
### EIGENVALUES

Lambda1= 41.154 S1= 0.722  
 Lambda2= 10.239 S2= 0.180  
 Lambda3= 5.608 S3= 0.098

S1/S2= 4.020  
 S2/S3= 1.826  
 S1/S3= 7.339

Ln(S1/S2)= 1.391 Ln(S2/S3)= 0.602

C= 1.993  
 K= 2.311  
 N=57



#### EIGENVECTORS

	l	m	n	Strike	Dip
V1=	0.676	-0.734	0.057	312.648	3.263
V2=	-0.723	-0.648	0.240	221.839	13.892
V3=	0.139	0.204	0.969	55.588	75.714

#### EIGENVALUES

Lambda1= 40.635 S1= 0.797  
 Lambda2= 7.988 S2= 0.157  
 Lambda3= 2.377 S3= 0.047

S1/S2= 5.087

S2/S3= 3.360

S1/S3= 17.095

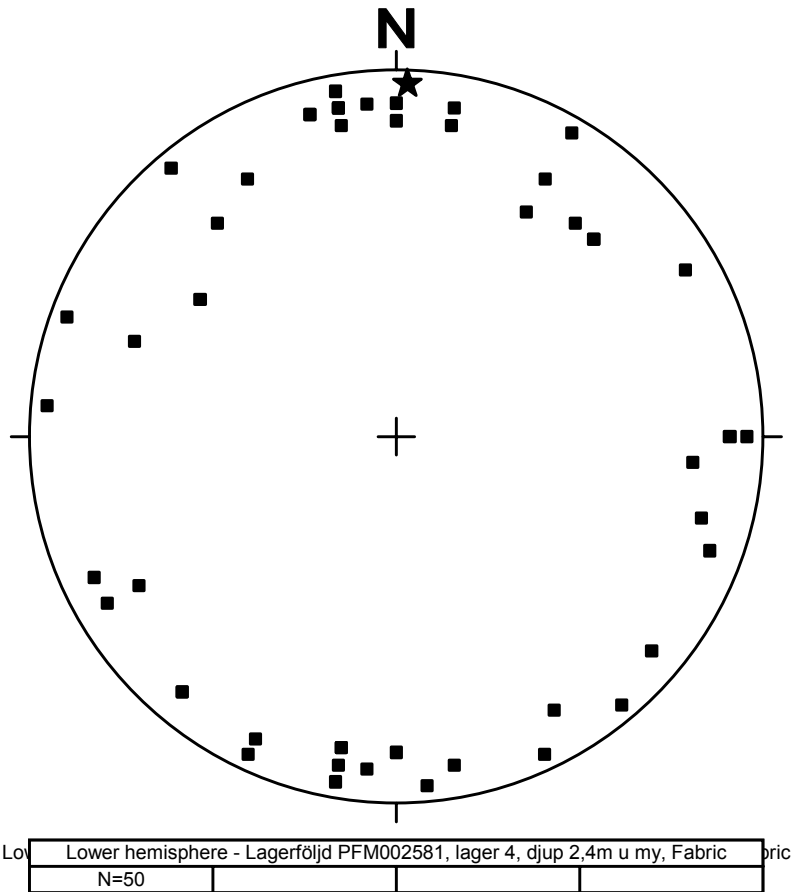
Ln(S1/S2)= 1.627 Ln(S2/S3)= 1.212

C= 2.839

K= 1.342

N=51





#### EIGENVECTORS

	l	m	n	Strike	Dip
V1=	0.997	0.032	0.074	1.825	4.248
V2=	-0.032	0.999	0.004	91.840	0.204
V3=	-0.074	-0.006	0.997	184.578	85.747

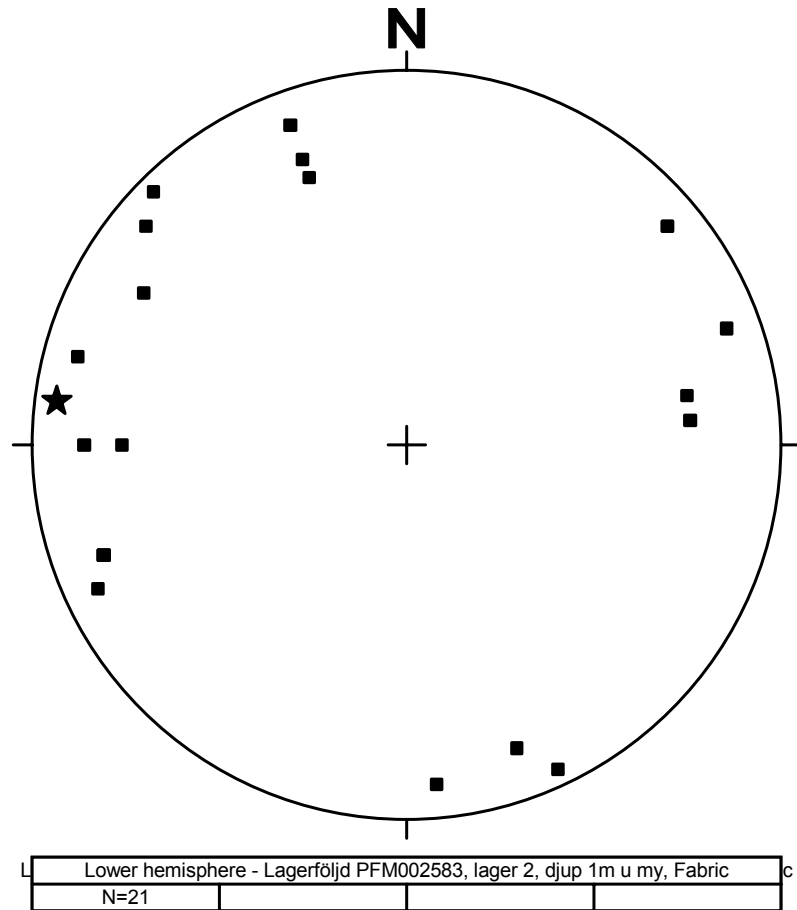
#### EIGENVALUES

Lambda1= 30.659 S1= 0.613  
 Lambda2= 16.331 S2= 0.327  
 Lambda3= 3.011 S3= 0.060

S1/S2= 1.877  
 S2/S3= 5.424  
 S1/S3= 10.184

Ln(S1/S2)= 0.630 Ln(S2/S3)= 1.691

C= 2.321  
 K= 0.372  
 N=50



#### EIGENVECTORS

	l	m	n	Strike	Dip
V1=	0.124	-0.986	0.113	277.155	6.490
V2=	0.986	0.135	0.100	7.807	5.711
V3=	-0.113	0.099	0.989	138.846	81.339

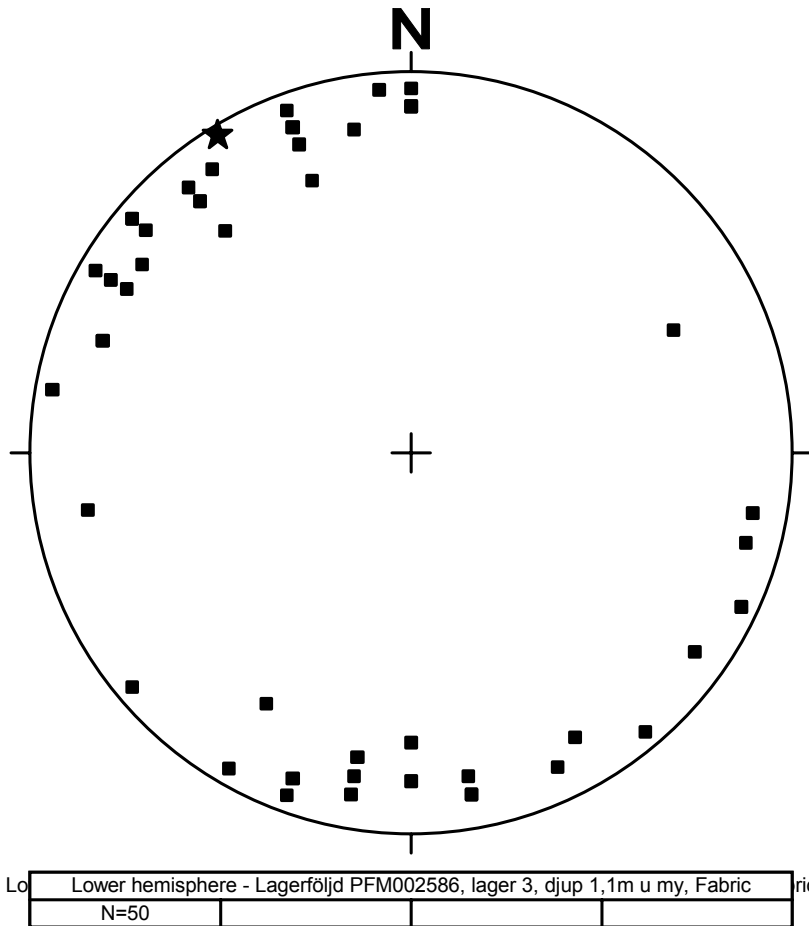
#### EIGENVALUES

Lambda1= 12.055 S1= 0.574  
 Lambda2= 7.604 S2= 0.362  
 Lambda3= 1.341 S3= 0.064

S1/S2= 1.585  
 S2/S3= 5.671  
 S1/S3= 8.990

Ln(S1/S2)= 0.461 Ln(S2/S3)= 1.735

C= 2.196  
 K= 0.265  
 N=21



#### EIGENVECTORS

	l	m	n	Strike	Dip
V1=	0.853	-0.520	0.049	328.650	2.815
V2=	-0.520	-0.840	0.156	238.207	8.949
V3=	0.040	0.158	0.987	75.948	80.612

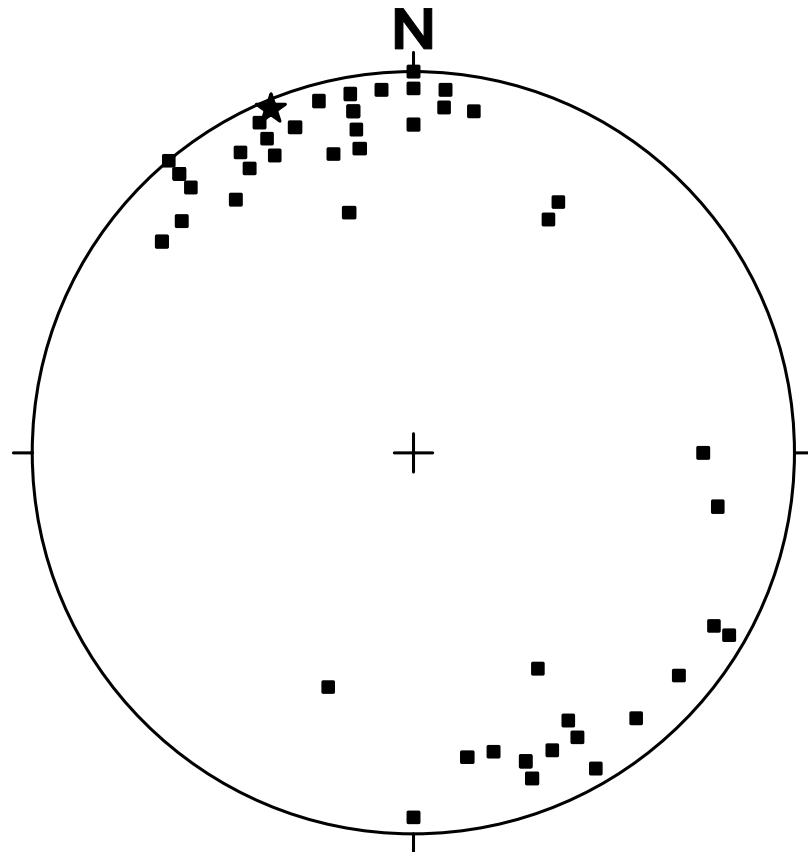
#### EIGENVALUES

Lambda1= 34.402 S1= 0.688  
 Lambda2= 13.449 S2= 0.269  
 Lambda3= 2.149 S3= 0.043

S1/S2= 2.558  
 S2/S3= 6.260  
 S1/S3= 16.012

Ln(S1/S2)= 0.939 Ln(S2/S3)= 1.834

C= 2.773  
 K= 0.512  
 N=50



Lower hemisphere - Lagerföjld PFM002588, lager 4, djup 2,1m u my, Fabric
N=50

EIGENVECTORS

	l	m	n	Strike	Dip
V1=	0.923	-0.383	0.046	337.483	2.625
V2=	0.342	0.868	0.360	68.496	21.076
V3=	-0.177	-0.316	0.932	240.713	68.745

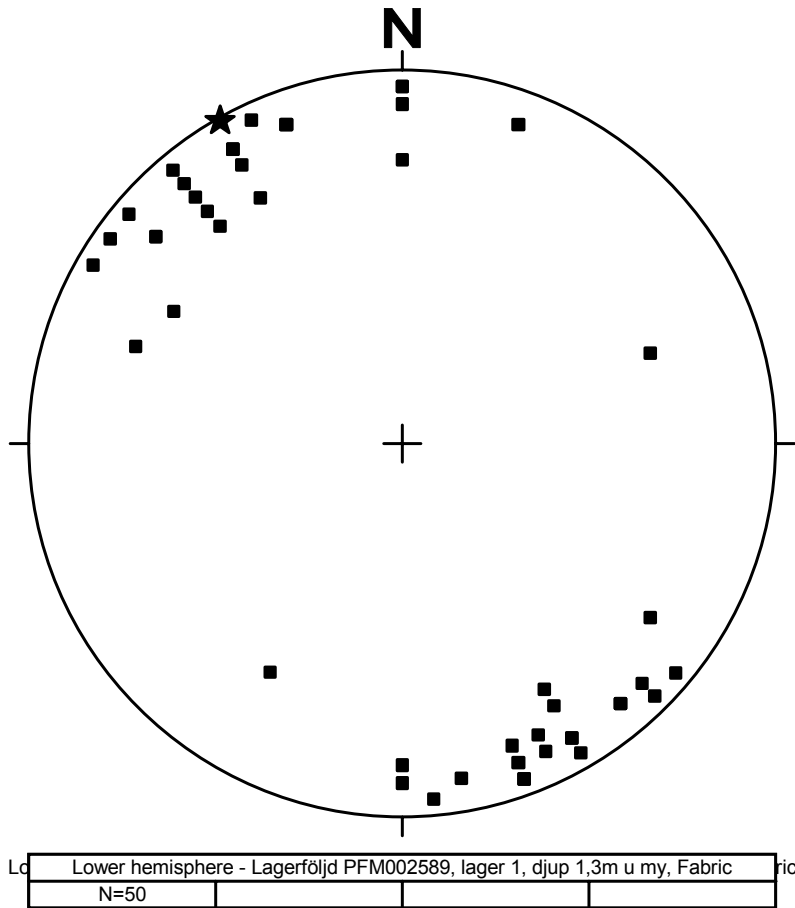
EIGENVALUES

Lambda1= 40.014 S1= 0.800  
 Lambda2= 6.973 S2= 0.139  
 Lambda3= 3.013 S3= 0.060

S1/S2= 5.739  
 S2/S3= 2.314  
 S1/S3= 13.280

Ln(S1/S2)= 1.747 Ln(S2/S3)= 0.839

C= 2.586  
 K= 2.082  
 N=50



### EIGENVECTORS

	l	m	n	Strike	Dip
V1=	0.871	-0.491	0.016	330.557	0.941
V2=	-0.486	-0.856	0.177	240.388	10.218
V3=	0.073	0.162	0.984	65.765	79.738

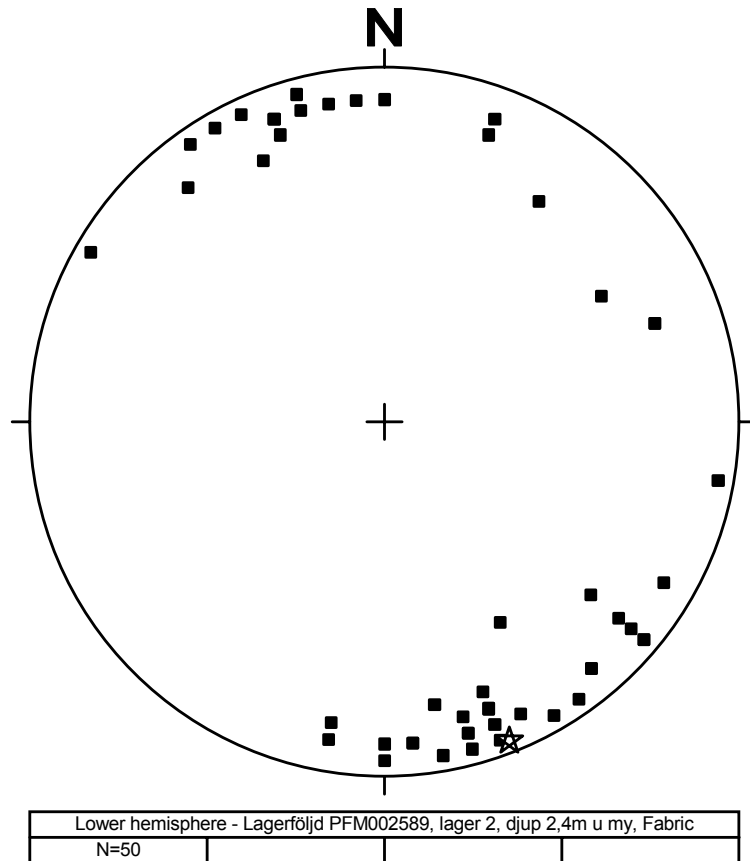
### EIGENVALUES

Lambda1= 41.186 S1= 0.824  
 Lambda2= 5.800 S2= 0.116  
 Lambda3= 3.014 S3= 0.060

S1/S2= 7.102  
 S2/S3= 1.924  
 S1/S3= 13.665

Ln(S1/S2)= 1.960 Ln(S2/S3)= 0.654

C= 2.615  
 K= 2.995  
 N=50



#### EIGENVECTORS

	l	m	n	Strike	Dip
V1=	-0.929	0.364	0.067	158.603	3.847
V2=	0.367	0.882	0.295	67.415	17.144
V3=	-0.048	-0.298	0.953	260.846	72.404

#### EIGENVALUES

Lambda1= 39.163 S1= 0.783  
 Lambda2= 8.868 S2= 0.177  
 Lambda3= 1.969 S3= 0.039

S1/S2= 4.416

S2/S3= 4.503

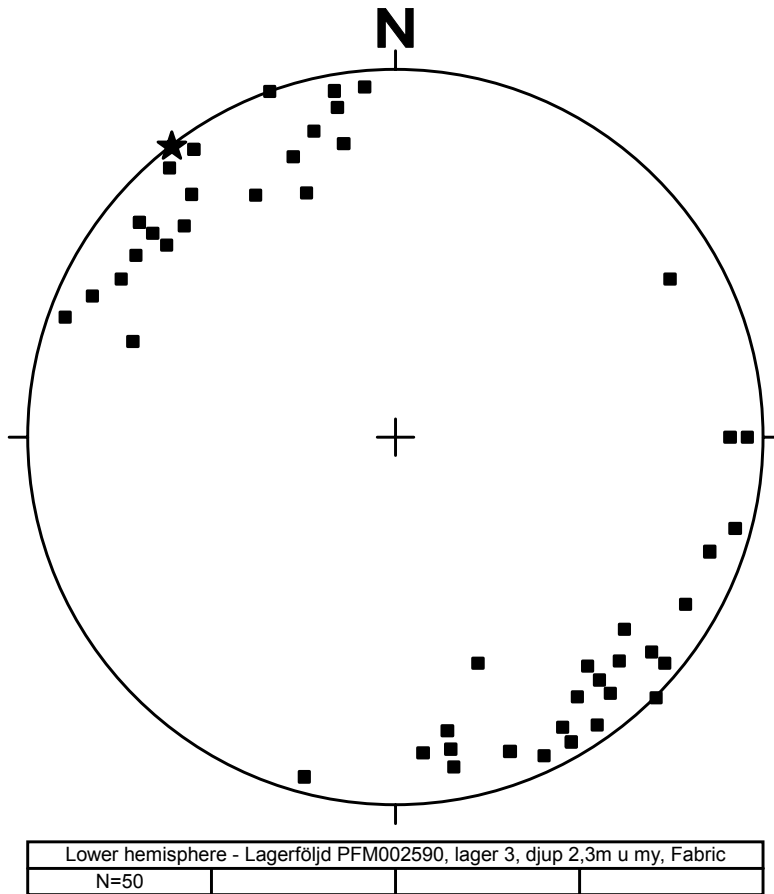
S1/S3= 19.886

Ln(S1/S2)= 1.485 Ln(S2/S3)= 1.505

C= 2.990

K= 0.987

N=50



#### EIGENVECTORS

	l	m	n	Strike	Dip
V1=	0.793	-0.609	0.007	322.449	0.378
V2=	-0.609	-0.793	0.006	232.447	0.350
V3=	-0.002	0.009	1.000	99.675	89.485

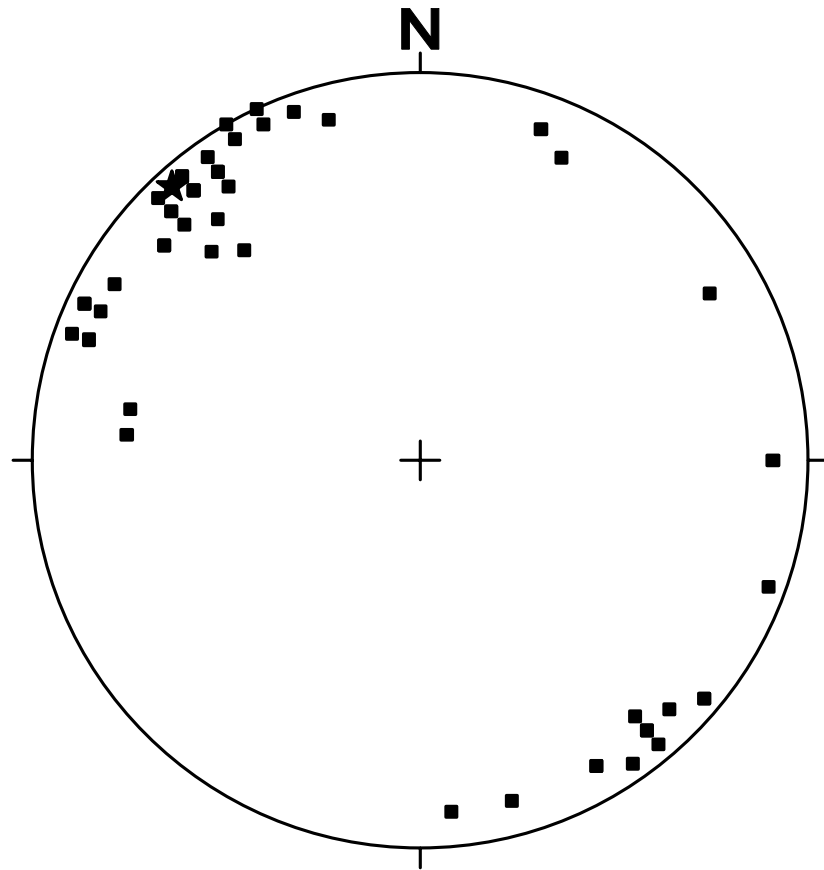
#### EIGENVALUES

Lambda1= 39.760 S1= 0.795  
 Lambda2= 7.282 S2= 0.146  
 Lambda3= 2.958 S3= 0.059

S1/S2= 5.460  
 S2/S3= 2.462  
 S1/S3= 13.440

Ln(S1/S2)= 1.697 Ln(S2/S3)= 0.901

C= 2.598  
 K= 1.884  
 N=50



Lower hemisphere - Lagerföljd PFM002592, lager 3, djup 1,2m u my, Fabric			
N=50			

EIGENVECTORS

	l	m	n	Strike	Dip
V1=	0.737	-0.669	0.093	317.792	5.356
V2=	-0.673	-0.740	0.015	227.710	0.876
V3=	-0.059	0.074	0.996	128.449	84.573

EIGENVALUES

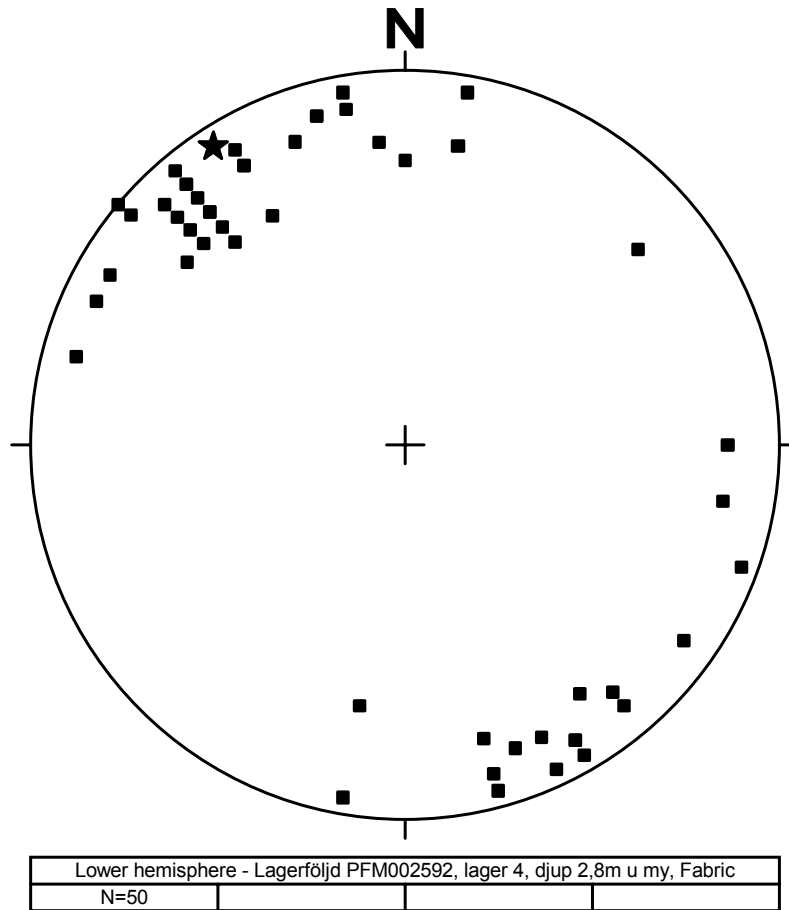
Lambda1= 41.948 S1= 0.839  
 Lambda2= 6.284 S2= 0.126  
 Lambda3= 1.768 S3= 0.035

S1/S2= 6.676  
 S2/S3= 3.555  
 S1/S3= 23.730

Ln(S1/S2)= 1.898 Ln(S2/S3)= 1.268

C= 3.167  
 K= 1.497  
 N=50





### EIGENVECTORS

	l	m	n	Strike	Dip
V1=	0.837	-0.538	0.103	327.244	5.894
V2=	0.534	0.843	0.068	57.647	3.902
V3=	-0.123	-0.002	0.992	180.975	82.924

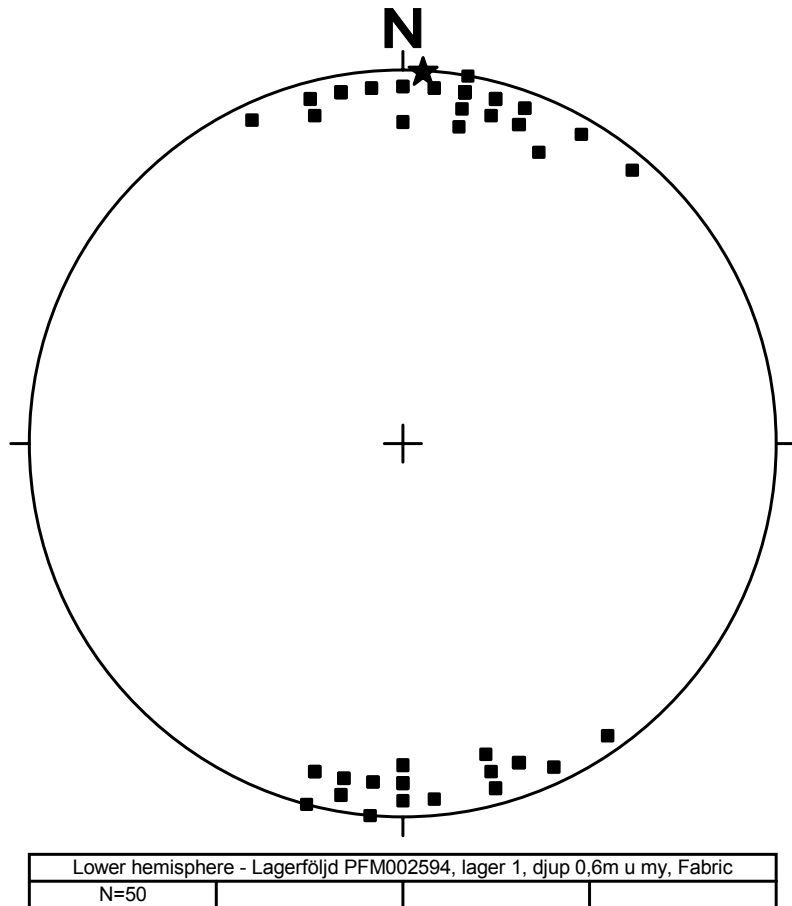
### EIGENVALUES

Lambda1= 39.808 S1= 0.796  
 Lambda2= 7.005 S2= 0.140  
 Lambda3= 3.187 S3= 0.064

S1/S2= 5.683  
 S2/S3= 2.198  
 S1/S3= 12.491

Ln(S1/S2)= 1.738 Ln(S2/S3)= 0.787

C= 2.525  
 K= 2.206  
 N=50



#### EIGENVECTORS

	l	m	n	Strike	Dip
V1=	0.999	0.054	0.008	3.107	0.441
V2=	-0.054	0.969	0.239	93.216	13.844
V3=	0.006	-0.239	0.971	271.317	76.149

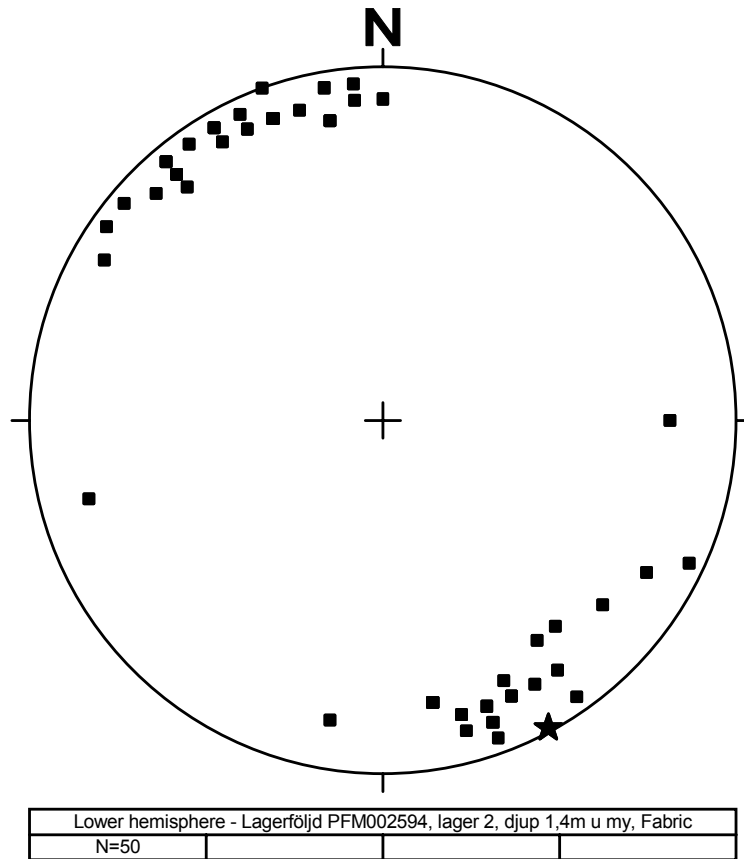
#### EIGENVALUES

Lambda1= 45.892 S1= 0.918  
 Lambda2= 3.256 S2= 0.065  
 Lambda3= 0.852 S3= 0.017

S1/S2= 14.093  
 S2/S3= 3.822  
 S1/S3= 53.863

Ln(S1/S2)= 2.646 Ln(S2/S3)= 1.341

C= 3.986  
 K= 1.973  
 N=50



### EIGENVECTORS

	l	m	n	Strike	Dip
V1=	-0.880	0.474	0.023	151.729	1.332
V2=	-0.473	-0.881	0.013	241.747	0.768
V3=	0.027	0.001	1.000	1.698	88.462

### EIGENVALUES

Lambda1= 42.614 S1= 0.852  
 Lambda2= 5.014 S2= 0.100  
 Lambda3= 2.372 S3= 0.047

S1/S2= 8.498  
 S2/S3= 2.114  
 S1/S3= 17.966

Ln(S1/S2)= 2.140 Ln(S2/S3)= 0.749

C= 2.888  
 K= 2.858  
 N=50